



## بررسی ماقما و کنترل کننده‌های کانه‌زایی طلا (مس) فراگرمایی زواریان (سلفچگان) در مقایسه با طلای فراگرمایی ساری‌گونای (قروه)

تهرمینه حسن‌زاده<sup>\*</sup>، سید مهران حیدری<sup>\*</sup>، جلیل قلمقاش، آیدا محبی

گروه زمین‌شناسی، پژوهشکده علوم زمین، سازمان زمین‌شناسی و معدنی کشور، تهران، ایران

(دریافت مقاله: ۹۹/۱۱/۵، نسخه نهایی: ۱۴۰۰/۱/۲۸)

چکیده: کانسار طلا (مس) زواریان در میانه کمان ماقمایی ارومیه-دختر، در مخروطی آتشفسانی با واحدهای آندزی-بازالت، آندزیتی و توده‌های گرانو دیوریتی واقع است. این مجموعه دارای ماهیت آهکی قلیایی و الگوی تغییرات عنصر کمیاب و خاکی نادر (غنى شدگی عنصر سنگ دوست بزرگ یون، عناصر خاکی نادر سبک نسبت به عناصر با شدت میدان بالا، عناصر خاکی نادر سنگین، ناهنجاری عناصر سنگ و مقادیر پایین  $\text{Nb}$  و  $\text{Ti}$ ) ماقمایی ارومیه-دختر به کمان است. بررسی‌های ساختاری به نقش کلیدی پهنه‌های برشی راستگرد به عنوان کنترل کننده حوضه‌های رسوبی و ایجاد شرایط لازم برای کشش‌های محلی و خروج ماقما اشاره دارد. پراکندگی و نوع دگرسانی‌های گرمایی، رگه‌های کانه‌دار درون نفوذی‌ها و حضور مگنتیت، تورمالین و کالکوپیریت نقش سیال‌های ماقمایی رادر تشکیل کانه‌زایی نشان می‌دهند. این سیال‌ها دارای دمای همگن شدگی  $220^{\circ}\text{C}$  تا  $350^{\circ}\text{C}$  و شوری  $15-10\%$  وزنی نمک طعام هستند. براساس مقایسه این کانه‌زایی با کانسار ساری‌گونای در شمال غرب پهنه سنتنگ-سیرجان، فازهای ماقمایی میوسن مربوط به تشکیل پهنه‌های برشی و ایجاد کشش‌های محلی در فازهای کوه‌زایی پس از برخوردی هستند که با افزایش نقش سیال‌های جوی و آمیختگی آنها با سیال‌های ماقمایی همراه است.

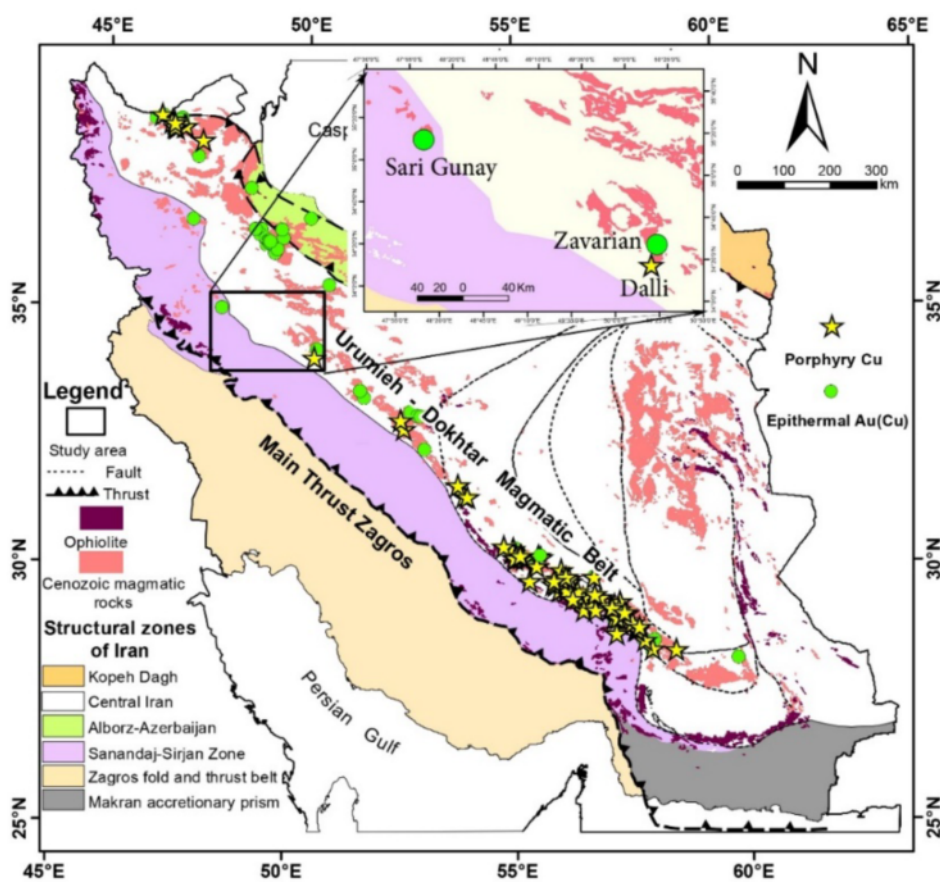
واژه‌های کلیدی: طلای فراگرمایی؛ زواریان؛ سلفچگان؛ ساری‌گونای؛ کوه‌زایی؛ ایران.

### مقدمه

دگرگونی- ماقمایی سنتنگ- سیرجان با ارتفاعی حدود  $2200$  متر از سطح دریا و ذخیره قطعی حدود  $41$  میلیون تن کانسنگ اکسیدی با عیار  $1/7 \text{ ppm}$  طلا، توسط شرکت خصوصی زرکوه (مشترک ایران- قزاقستان) در حال استخراج سالیانه دو میلیون تن کانسنگ به صورت روباز بوده و حدود  $50$  متر از سطح این کانسار روبروی شده است. بر این اساس، این ذخایر با میزانی سنگهای سنبانی آتشفسانی ترشیری (ثوشن)، از نظر ساختاری در کمربند ماقمایی ارومیه-دختر و پهنه سنتنگ- سیرجان به عنوان پخش داخلی کوه‌زاد زاگرس واقع هستند [۳،۲]. کوه‌زاد زاگرس به عنوان بخشی از سامانه بزرگ کوه‌زایی آلپ- هیمالیا، از نظر زمین‌دینامیکی منطبق بر کرانه فعال قاره‌ای [۲] است که عمدۀ ذخایر طلای کشور (فلز‌زایی نئوتیسیس) به آن وابسته‌اند (شکل ۱). در این بین، کمان

کانه‌زایی طلا (مس) فراگرمایی زواریان در شمال غرب کشور با موقعیت جغرافیایی  $50^{\circ} ۲۳'$  طول شرقی و  $۳۴^{\circ} ۲۷'$  عرض شمالی در استان قم،  $5$  کیلومتری جنوب غرب شهرستان سلفچگان و در برگه  $1:100000$  سلفچگان واقع است (شکل ۱). این منطقه در بخش شمالی کمربند ماقمایی ارومیه-دختر با ارتفاعی در حدود  $2000$  متر از سطح دریا، از نظر عملیات اکتشافی در مرحله اکتشافات تفصیلی است (شکل ۱). این در حالی است که در  $2200$  کیلومتری شمال غرب این کانه‌زایی، کانسار طلای فراگرمایی ساری‌گونای با مختصات جغرافیایی  $48^{\circ} ۰۵'$  طول شرقی و  $۳۵^{\circ} ۳۵'$  عرض شمالی، در استان کردستان،  $۳۴$  کیلومتری خاور شهرستان قروه و در برگه  $1:100000$  کوه‌زایی، قرار دارد [۱] (شکل ۱). این کانه‌زایی در بخش شمالی پهنه

\*نویسنده مسئول، تلفن: ۰۹۱۲۲۸۷۶۰۸۷، نمبر: ۰۲۴۳۳۰۵۴۰۰۲، پست الکترونیکی: sm.heidari@gmail.com



شکل ۱ موقعیت جغرافیایی کانسار زواریان (کمان ماقمایی ارومیه-دختر و کانسار ساری گونای پهنه سندنج-سیرجان، برگرفته از نقشه زمین شناسی ایران با مقیاس ۱:۱۰۰۰۰۰۰، سازمان زمین شناسی و اکتشافات معدنی کشور، ۱۳۸۵).

سال پیش)، چون ذخایر طلای ساری گونای (فراگرمایی) و رژشوران (کارلین) با فعالیت ماقمایی در ارتباط با کانه‌زایی‌های پورفیری در کمان ماقمایی ارومیه-دختر (شکل ۱) چون میدوک، سرچشم، دره‌زرشک و علی‌آباد و ادامه آن در کشورهای همسایه ترکیه (کدجاران) و پاکستان (ریکودیک)، ساینداک و دشت کاین) بر اهمیت آن از نظر فلزیابی طلا می-افزاید [۵, ۶]. بنابراین، در این پژوهش، فعالیت ماقمایی و کنترل کننده‌های کانه‌زایی طلا (مس) براساس فرآیندهای موثر در کانه‌زایی چون سنگ میزبان، زمین‌شیمی، محیط زمین-ساختی ماقمایی، انواع دگرسانی‌ها، ساختار و ویژگی‌های سیال کانه‌دار در کانسار فراگرمایی زواریان (سلفچگان) بررسی و با کانسار ساری گونای مقایسه شده است.

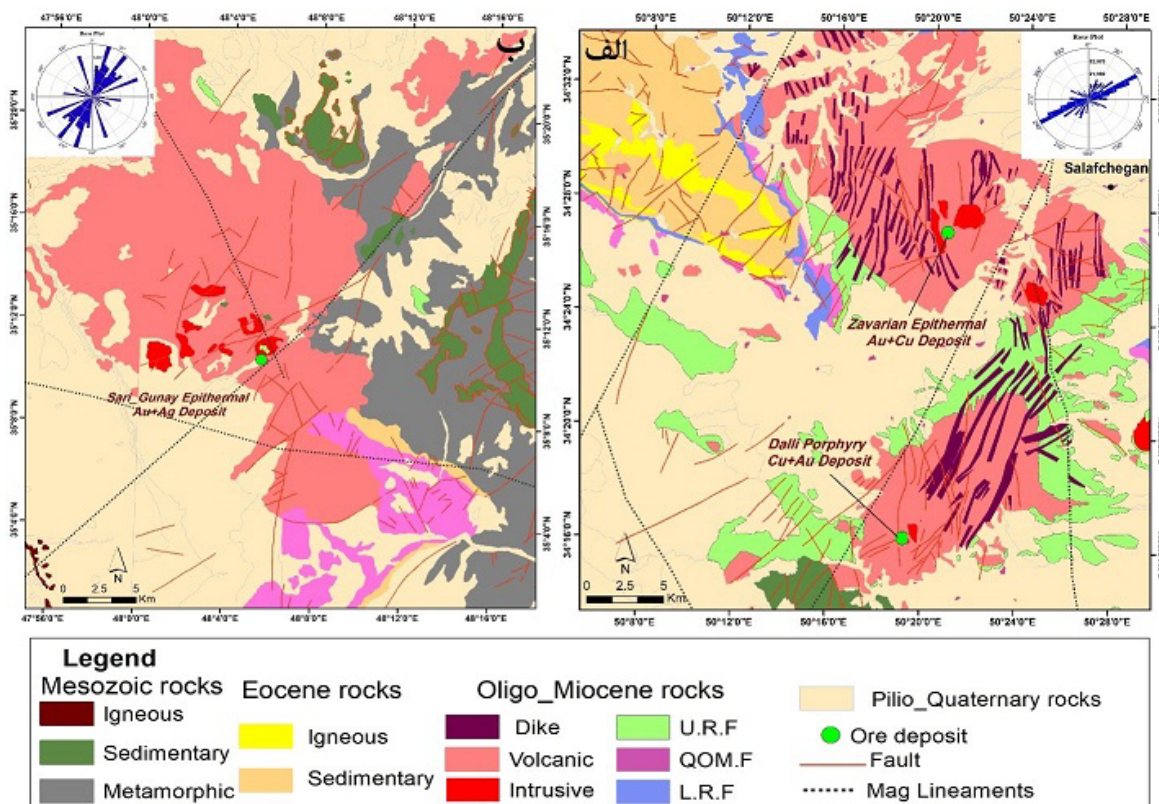
#### جایگاه زمین‌شناسی

عمده واحدهای رخنمون یافته در مناطق سلفچگان و کوهین (قروه)، چنانکه در شکل ۲ دیده می‌شود، سنگ‌های رسوی و آتشفسانی الیگومیوسن (معادل سازندهای قرمز زیرین، قم و

ماگمایی ارومیه-دختر از نظر فلزیابی، میزبان اصلی ذخایر فراگرمایی-پورفیری (مسجددادگی، سونگون، توزلار، زواریان، دالی، چاه زرد، میدوک، سرچشم) [۴]، و پهنه سندنج-سیرجان میزبان اصلی انواع طلای کوهزایی و کارلین (چون خراپه، کرویان، رژشوران، آقدره، موته و زرترشت) است. بنابراین، حضور کانسار طلای فراگرمایی بزرگی چون ساری گونای با میزبان آتشفسانی در بخش شمالی این پهنه بر اهمیت شناسایی ویژگی‌های ماقمایی مربوط به کانه‌زایی طلا در این ذخیره و مقایسه آن با ذخایر مشابه در کمان ماقمایی ارومیه دختر می‌افزاید (شکل ۱). به بیان دیگر، درک صحیح ویژگی‌های ماقمایی مربوط با کانه‌زایی طلا و مقایسه آن‌ها با هم بستر مناسبی برای شناسایی فازهای مختلف کانه‌زایی طلا با توجه به تشکیل فازهای ماقمایی وابسته به کمان در کمان ماقمایی ارومیه-دختر و پهنه سندنج-سیرجان فراهم آورد. این امر با توجه به تشابه سنی فعالیت ماقمایی در ارتباط با کانه‌زایی‌های این بخش از پهنه سندنج-سیرجان (میوسن، ۱۵-۱۱ میلیون

موجود، متفاوت بوده و نوع واحدهای قدیمی رخمنون یافته در مرکز آن نیز متناسب با شدت بالآمدگی و کشش در آن ناحیه مختلف است؛ در منطقه سلفچگان فعالیت ماجمایی ائوسن از E1 تا E6 (اوایل تا اواخر ائوسن) به صورت پیوسته وجود دارد این در حالی است که در منطقه کوهین، تنها واحد آهکی نومولیتدار رخمنون دارد و واحدهای آتشفسانی ائوسن برونزدی نشان نمی‌دهد. این به نوعی نشانگر نظام کششی در منطقه سلفچگان نسبت به منطقه کوهین در زمان ائوسن است (شکل ۲). در ادامه و در نتیجه، معادل سازند قرمز زیرین در هر دو منطقه، با سازند قم پوشیده می‌شود که شامل رسوب‌های دانه‌ریز همراه با مارن و آهک است که به صورت محلی آبسنگی هستند (شکل ۲). بر این واحد در زمان میوسن میانی-پسین، واحدهای تخریبی شامل تناوبی از مارن، لای و ماسه‌سنگ قرمز رنگ (معادل سازند قرمز بالایی) تشکیل شده‌اند (شکل ۲). نکته مهم در این توالی رسوبی حضور واحدهای آتشفسانی به طور محلی در مناطق یاد شده همراه با واحدهای رسوبی است.

قرمز بالایی) بوده که از نظر محیط رسوبگذاری، وابسته به حوضه‌های کم عمق درون قاره‌ای هستند [۸,۷] (شکل ۲). در این بین، قدیمی‌ترین آنها شامل مجموعه‌ای از واحدهای تخریبی چون کنگلومرا، ماسه‌سنگ و مارن (معادل سازند قرمز زیرین) است که به طور دگرشیب بر سنگ‌های قدیمی‌تر (ائوسن و مژوزوئیک) قرار دارند (شکل ۲). واحدهای قدیمی در منطقه سلفچگان شامل واحدهای شیلی، ماسه‌سنگی ژوراسیک و آهک‌های کرتاسه هستند (شکل ۲ الف)، در صورتیکه در کوهین (قوه) از واحدهای دگرگون شیست، فیلیت و آهک‌های متبلور تریاس-ژوراسیک تشکیل یافته‌اند (شکل ۲ ب). بنابراین در این مناطق به نوعی با بالآمدگی و در پی آن رخمنون واحدهای قدیمی‌تر و قرارگیری واحدها به صورت ناپیوسته بر آن مواجه هستیم. برخی پژوهشگران این بالآمدگی را در ارتباط با فاز کششی ناحیه‌ای می‌دانند که به صورت کرکمپلکس در طول گسل‌های ساختاری کم‌شیب در این مناطق و نواحی دیگر در ائوسن ظاهر یافته‌اند [۹,۱۰]. بر این اساس، مقدار بالآمدگی در نواحی مختلف متناسب با شدت فاز کششی



شکل ۲ موقعیت (الف) کانسار زواریان بر نقشه زمین‌شناسی ۱:۱۰۰۰۰۰ و (ب) کانسار ساری‌گونای بر نقشه زمین‌شناسی ۱:۱۰۰۰۰۰ کوهین [۸]. همراه با نمودارهای گل رز گسل‌های هر منطقه.

### روش بررسی

به منظور دست‌یابی به اهداف پژوهش افزون بر استفاده از نتایج پیشین، بررسی‌های سنگ‌شناسی (میکروسکوپی و تجزیه) و دگرسانی اصولی براساس تصاویر ماهواره‌ای، تجزیه‌های زمین-شیمی و بررسی سیال‌های درگیر در کانسار زواریان و ساری-گونای انجام شد. به منظور شناسایی دگرسانی‌ها و ساختار که مستقیم و غیرمستقیم در ارتباط با کانه‌زایی هستند، بررسی‌های اصولی دستگاهی با پردازش داده‌های ماهواره‌ای آستر (مربوط به پیش از فرآیند بهره‌برداری از کانسار ساری‌گونای) با روش‌هایی چون ترکیب رنگی کاذب (RGB)، نسبت نواری و بارزسازی تصاویر به روش نقشه‌برداری زاویه طیفی (SAM) با نرم‌افزار ENVI4.8 صورت گرفت. بررسی سنگ‌شناسی واحدهای آذرین و کانه‌شناسی در منطقه زواریان با برداشت ۱۶۰ نمونه مقطع نازک و ۱۵ نمونه مقطع نازک-صیقلی و در قالب تهیه نقشه ۱:۲۵۰۰۰ (سازمان زمین‌شناسی و اکتشافات معدنی کشور)، انجام شد. همچنین، به منظور بررسی ویژگی‌های زمین‌شیمیایی سنگ‌های آذرین میزان کانه‌زایی طلای زواریان، تعداد ۲۱ نمونه از بخش‌های کمتر دگرسان این مجموعه برای تجزیه زمین‌شیمیایی کل سنگ (عناصر اصلی و کمیاب) و تعیین ترکیب ماقما برداشت گردید. آماده‌سازی نمونه‌ها (خرداش و پودر نمودن) و همچنین تجزیه عناصر اصلی به روش طیفسنجی نشر نوری پلاسمای جفت شده القایی (ICP-EOS) با دقت حدود ۰.۰۱٪ و عناصر فرعی با روش طیفسنجی جرمی نوری پلاسمای جفت شده القایی (ICP-MS) با دقت ۰.۰۱-۰.۱ ppm در آزمایشگاه مرکز پژوهش‌های کاربردی سازمان زمین‌شناسی و اکتشافات معدنی کشور انجام شد. برای بررسی سیال‌های درگیر در کانسار زواریان، تعداد ۴ نمونه از کوارتزهای کانه‌دار موجود در رگه‌های سیلیسی-سولفیدی منطقه با روند شمال‌شرق-جنوب غرب (NE-SW) انتخاب گردید. پس از تهیه مقاطع دوبر صیقلی و سنگ‌نگاری آنها، به منظور گرماسنجی سیال‌های درگیر، از صفحه لینکام THMSG600 با توانایی ایجاد دمای  $+60^{\circ}\text{C}$  با  $-200^{\circ}\text{C}$  متصل به میکروسکوپ الیمپوس BX50 با بزرگنمایی  $\times 400$  در آزمایشگاه سیال‌های درگیر دانشگاه فردوسی مشهد استفاده شد. برای واسنجی استیچ سرمایش-گرمایش از پتاسیم نیترات با دمای ذوب  $335^{\circ}\text{C}$  درجه سانتی‌گراد و دیکرومات پتاسیم با دمای ذوب  $398^{\circ}\text{C}$  درجه سانتی‌گراد

بنابراین، حضور این واحدهای وابسته به حوضه‌های کم‌عمق درون قله‌ای پیرامون مجموعه‌های آتشفشاری میزان این ذخایر به عنوان ذخایر فراگرمایی، اشاره به محیط تشکیل مشابه این مجموعه‌های آتشفشاری در زمان تشکیل در هر دو منطقه دارد (شکل ۲). این فعالیتهای ماقمایی (نیوزن)، گسترش بسیاری دارند (شکل ۲)، اگرچه به دلیل فرآیندهای زمین‌ساختی، دچار جابه‌جایی و فرسایش شدید شده و نظم و توالی اولیه خود را از دست داده‌اند (شکل ۲). این توالی آتشفشاری از نظر سنگ‌شناسی متنوع نبوده و بیشتر شامل تنابی از فوران‌های آتشفشاری به صورت آذرآواری چون توف آذرآواری، برش آتشفشاری، آکلومرا و گدازه‌ها به صورت روانه‌های آندزیتی-بازالتی تا اسیدی است (شکل ۲). سرانجام این مجموعه‌ها توسط توده‌های نیمه‌عمیق آتشفشاری چون توده‌های نیمه‌عمیق با ترکیب دیوریتی، گرانودیوریتی، مونزونیتی و داسیتی با بافت ریزدانه‌ای تا پورفیری، قطع شده‌اند. رخمنون این واحدهای نفوذی نشان دهنده بالاً‌آمدگی و فرسایش شدید واحدهای در برگیرنده آنهاست. رسوب‌های جوان‌تر در این مناطق بیشتر شامل کنگلومراهای چندزادی سخت‌نشده پالئوسن و نهشته‌های آبرفتی کواترنر، به ندرت فعالیتهای ماقمایی (در منطقه کوهین) با ترکیب بازنیتی و تراورتن هستند، که نقش عمده‌ای در پوشش واحدهای قدیمی‌تر و تشکیل سامانه‌های زمین‌گرمایی منطقه دارند (شکل ۲).

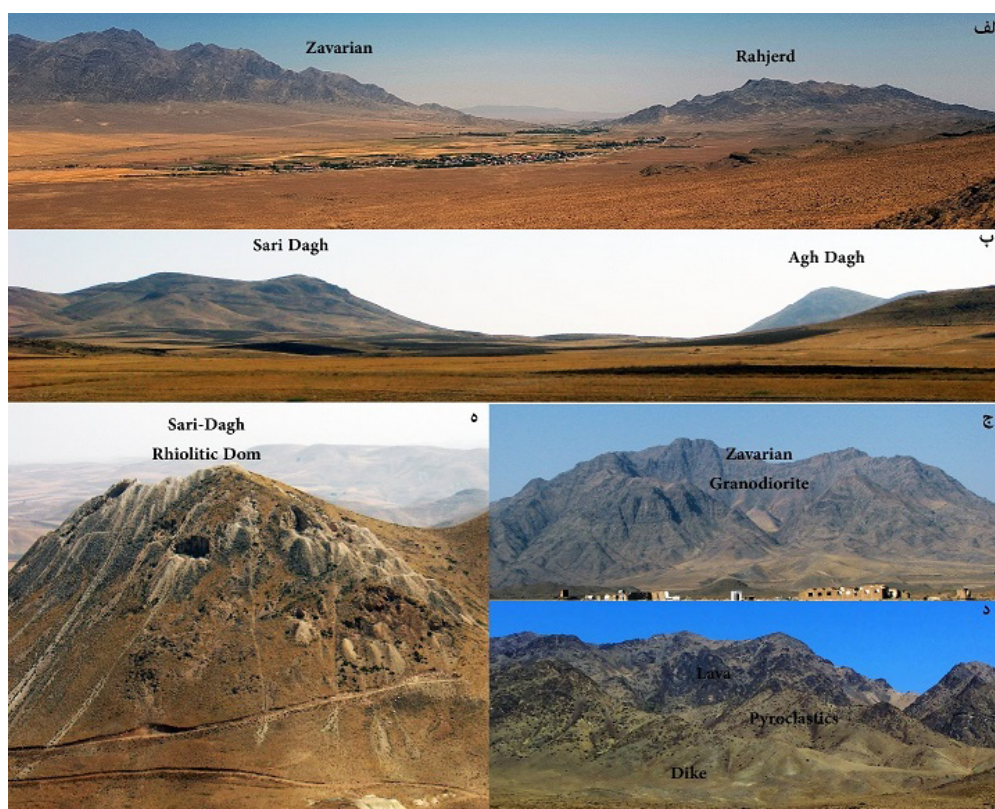
مهمترین روند ساختاری ناحیه‌ای در این مناطق روند شمال‌غربی-جنوب شرقی با سازوکار راستا لغز راستبر (پهنه برشی)، همروند با روند بالاً‌آمدگی، محور چین‌خوردگی‌ها (طاقدیس‌ها) و روند جایگیری ماقمایت (شکل ۱). البته، با توجه به نقشه‌های زمین‌شناسی، تصاویر ماهواره‌ای و داده‌های زمین‌فیزیکی، گسل‌های راستالغز (راستگرد و چپگرد) شمال‌شرق-جنوب غرب بیشترین تمرکز را در این مناطق دارند (شکل ۲). این گسل‌ها اغلب روند ناحیه‌ای را قطع می‌کنند و از آنها جوانتر (بیشتر میوسن) هستند (شکل ۲). به بیان دیگر، طی تشکیل ساختار این نواحی، در اثر پهنه‌برشی راستگرد [۱۱-۱۳]، این شکستگی‌ها باعث ایجاد فضای لازم و خروج ماقما در حوضه‌های رسوبی میوسن شده‌اند. به طوری که رخمنون اغلب گدازه‌ها و آذرآواری‌های یادشده به صورت کشیده در راستای این ساختارها اشاره به نقش کششی و کنترلی آنها در خروج و فوران ماقما در این مناطق دارد (شکل ۲).

مختلف تشکیل شده (شکل ۴) و با زمینه‌ای از سیلیس، پلاژیوکلاز، کلریت، کلسیت، کانی کدر و اکسیدهای آهن همراه با شیشه یا بدون آن در بر گرفته شده است (شکل ۵). درشت بلورهای این واحد اغلب از پلاژیوکلاز و کانی‌های مافیک (بیشتر هورنبلند و بهندرت پیروکسن) تشکیل شده‌اند. بلورهای آمفیبول و پلاژیوکلاز در آنها اغلب ترکیب اولیه خود را از دست داده و به کلریت، کلسیت، اپیدوت، سریسیت، کانی رسی و اکسیدهای آهن تبدیل شده‌اند (شکل ۵). این در حالی است که گدازه‌ها در این مجموعه به صورت پوششی در ارتفاع‌ها و به صورت میان‌لایه‌ای در مرکز منطقه بیشترین رخنمون را دارند (شکل ۵). گدازه‌ها در این مجموعه بیشتر با ترکیب آندزیتی- بازالتی، دارای بافت پورفیری با خمیره ریزسنگ و درشت- بلورهای پلاژیوکلاز، آمفیبول و پیروکسن هستند. اغلب درشت- بلورهای پلاژیوکلاز از مرکز سریسیتی شده‌اند و دارای ماکل چندریخت ناقص و منطقه‌بندی هستند (شکل ۵). خمیره نیز از پلاژیوکلاز و کانی‌های کدر تشکیل شده است (شکل ۵). آثار بلورهای اولیه تیره کدر شده در آن وجود دارد (شکل ۵). نکته بسیار مهم در این بخش، حضور توده‌های نفوذی نیمه‌عمیق در مرکز دره‌های رسیده به نواحی مرتفع (مرکز مخروط آتشفسان) به عنوان سنگ میزان اصلی کانه‌زایی است (شکل ۳ پ). بیشتر رگه‌های سیلیسی کانه‌دار و دگرسانی‌های مربوط به آن درون و یا در کنار این توده‌ها واقع هستند (شکل ۴ الف). این دگرسانی، دلیل دورنمای روشن این واحد نسبت به سایر واحدهای سنگی است (شکل‌های ۳ پ و ۶). رنگ ظاهری رخنمون آنها خاکستری روشن و بافت آن‌ها ریزدانه‌ای و پورفیری است (شکل‌های ۶ ب، پ). رخنمون متعدد این واحدهای نفوذی به صورت پراکنده در سنگ‌های آتشفسانی منطقه نشانگر ارتباط آنها در عمق و روپرداری آنها بهدلیل بالاًمدگی است (شکل ۴ الف). آنها از نظر ترکیبی، بیشتر در گستره گرانوپوریت- تونالیت هستند و اغلب از کانی‌های کوارتز، پلاژیوکلاز، بیوتیت، هورنبلند، منیتیت و بهندرت پیروکسن تشکیل شده‌اند (شکل ۶). آمفیبول‌ها اغلب به کلریت، کلسیت و کانی‌های اکسید آهن (مگنتیت) و کدر تجزیه شده‌اند (شکل ۶). نوع بافت، حضور هورنبلند مگمایی به همراه منیتیت و نیز نبود موسکویت در این توده‌ها اشاره به جایگزینی آنها در اعماق به نسبت کم دارد [۱۶]. بر اساس بررسی‌های سن‌سنگی انجام شده [۱۷، ۱۸]، سن این توده‌ها میوسن پیشین (۲۱-۱۷ میلیون سال پیش) در نظر گرفته می‌شود.

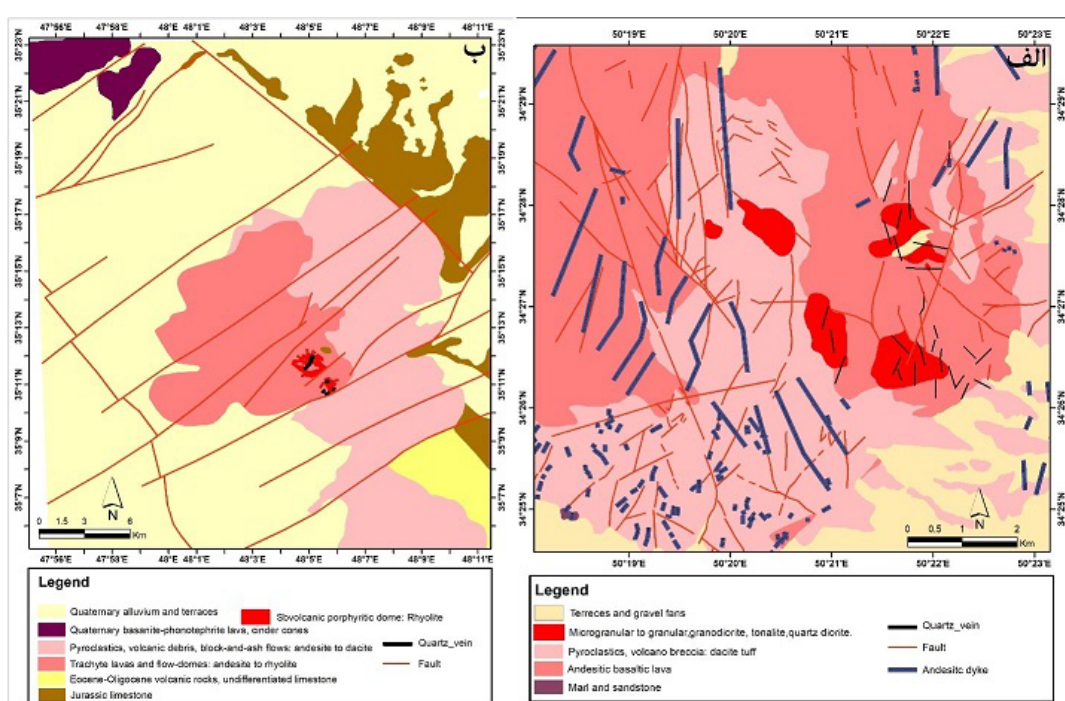
استفاده شد. به این ترتیب، دقت اندازه‌گیری در مرحله گرمایش حدود ۱+ درجه سانتی گراد بود.

### بحث و بررسی سنگ‌شناسی

اغلب واحدهای رخنمون یافته در منطقه زواریان شامل توالی از واحدهای آتشفسانی-رسوبی الیگومیوسن هستند که با دگرشیبی زاویه‌دار بر واحدهای آتشفسانی آئوسن قرار دارند [۱۴]. این توالی از دیدگاه سنگ‌شناسی تنوع چندانی ندارد و بیشتر شامل گدازه‌ها، واحدهای آذرآواری، توده‌های نیمه‌عمیق آتشفسانی (فلسی تا حدواسط) و سنگ‌های رسوبی چون کنگلومرا، مارن و آهک هستند (شکل‌های ۳ الف، پ، ت). واحدهای رسوبی آغازین در این توالی سنگ‌هایی تخریبی دانه‌درشت تا ریزدانه چون کنگلومرا، مارن قرمز و شیل هستند که با پیشروی دریای الیگومیوسن، سازند قرمز زیرین را تشکیل داده‌اند [۷]. روی این واحد رسوبی در لبه‌های منطقه مورد بررسی، توالی رسوبی-کربناتی سازند قم (اکی‌تائین-بوردیگالین) و در منطقه زواریان، مجموعه آتشفسانی میزان کانه‌زایی که گستردگی و پراکندگی به نسبت بالایی نیز دارد (حدود ۲۰۰ کیلومتر مربع)، بروزند یافته‌اند (شکل‌های ۳ الف، پ، ت). بر این اساس، این سامانه بخشی از توالی آتشفسانی-رسوبی حوضه قم بوده که در میوسن و در یک محیط دریایی کم‌عمق قاره‌ای تشکیل شده است (شکل‌های ۳ الف، پ، ت). بر اساس بررسی‌های میکروسکوپی و بازدیدهای صحرائی، این مجموعه آتشفسانی با ترکیب غالب بازالت، آندزی-بازالت و آندزیت، تناوبی از شرایط انفجار (آذرآواری) و آرامش (گدازه جریانی) را پشت سر نهاده و توسط دایک‌ها و توده‌های نیمه‌عمیق با بافت ریزدانه‌ای تا پورفیری، قطع شده است. از این رو، این فعالیت آتشفسانی به سن میوسن در قالب یک مخروط آتشفسانی (آتشفسان چینه‌ای) درون قاره‌ای و به شکل یک مخروط آتشفسان (خستک) تشکیل شده و میزان کانه‌زایی طلا -مس زواریان است (شکل ۳ پ) [۱۵]. در این مجموعه، واحدهای آذرآواری گسترش بیشتری نسبت به سایر واحدها داشته (شکل‌های ۳ الف، پ) و اغلب به صورت توف، توف‌برش، ایگنیمیرایت و آگلومرای جریانی رخنمون دارند. این واحد اغلب به رنگ سبز تا خاکستری تیره و با میان‌لایه‌هایی از گدازه در دره‌ها و یا با شیب کم در لبه‌ها و پیرامون مخروط آتشفسانی دیده می‌شود (شکل ۳ ت). این واحد بیشتر از قطعه‌های سنگی با ترکیب آندزیتی-دادسیتی در اندازه‌های



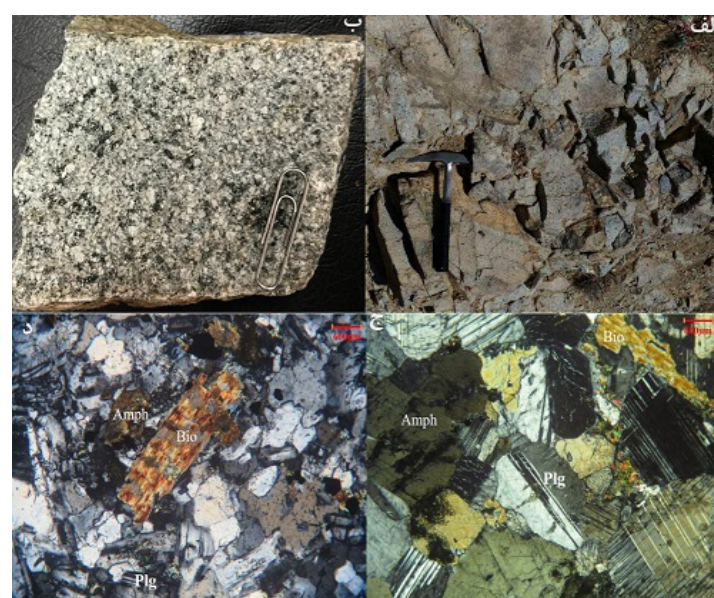
شکل ۳ نمایی از مجموعه های آذرین میزبان کانهزاپی به ترتیب سلفچگان شامل مناطق زواریان و راهجرد (دید به سمت) و کوهین شامل ساری داغ و آق داغ (دید به سمت شمال شرق)، (پ) نمایی از کالدرا (خستک) میزبان کانهزاپی زواریان، که در توده نفوذی با رنگ روشنتر در مرکز آن نمایان است، (ت) نمایی از توالی گدازه ها، آذرآواری ها و دایک های قطع کننده در دیواره بیرونی کالدرا در منطقه زواریان، (ث) توده نیمه عمیق ریولیتی-داسیتی ساری داغ، سنگ میزبان کانهزاپی ساری گونای، که اکنون به طور کامل برداشت شده است.



شکل ۴ نقشه های زمین شناسی مناطق معدنی (الف) زواریان، (ب) ساری گونای براساس نقشه های زمین شناسی اقتصادی ۱:۲۵۰۰۰ زواریان [۷] و ۱:۲۰۰۰۰ ساری گونای، (برگرفته از مرجع [۱۹] با کمی تغییر).



شکل ۵ الف: نمایی از تناب و واحد گدازه آندزیتی و آذرآواری در مقیاس رخمنون نمایی از واحد گدازه آندزیتی قهوه‌ای MPan که به صورت میان لایه درون واحد MV قرار گرفته است ب-د: مقطع میکروسکوپی دارای بافت میکرولیتیک شیشه‌ای دارای میکروفوکریستال‌های کانی پلازیوکلاز و بیوتیت-ج: بخش‌های دگرسانی اپیدوتیزه و کلریتی-ز: مقطع میکروسکوپی واحد آذرآواری ه: مقطع میکروسکوپی واحد توفی.



شکل ۶ نمایی از توده نیمه عمیق در مقیاس رخمنون، نمونه دستی و میکروسکوپی در منطقه زواریان، الف) رخمنون توده نیمه عمیق گرانوڈیوریتی، ب) نمونه شامل کانی‌های کوارتز، فلدسپات و کانی‌های تیره (آمفیبیول) درشت با بافت پورفیری-دانه‌ای، پ، ت) مقطع میکروسکوپی از این واحد با بافت دانه‌ای، درشت بلورهای پلازیوکلاز (آنزیزین- الیگوکلاز) در نور قطبشی همراه با کانی مافیک آمفیبیول و بیوتیت که به کلریت، اپیدوت و کانی کدر (اکسید آهن و مگنتیت) تجزیه شده‌اند.

سن سنجی انجام شده، دو فاز ماقمایی به سن میوسن در این منطقه حضور دارند. گروه نخست با ترکیب حدواتسط تا اسیدی و سنی حدود ۱۱ تا ۱۱/۷ میلیون سال پیش (میوسن میانی-پسین)، سنگ میزبان کانه‌زائی کانسار ساری‌گونی را تشکیل می‌دهد [۱۹]، در حالیکه گروه دوم با حجم بیشتر، سنی حدود ۸/۳ تا ۹/۸ میلیون سال (میوسن پسین) و ترکیب بازی کانه‌زائی ندارد [۲۲، ۲۱]. از دیگر فعالیت‌های ماقمایی قابل توجه در این منطقه، وجود فعالیت‌های ماقمایی جوان (کواترنری) است که گاهی هر دو این فعالیت‌های ماقمایی را قطع نموده‌اند (شکل ۴ ب). توده نیمه عمیق مربوط به کانه‌زائی در این منطقه با توجه به حفاری‌های صورت گرفته دارای ترکیب دیوریتی با ماهیت آهکی قلیایی و بافت پورفیری بوده که در بخش بالایی به صورت گنبدهای داسیتی-ربوداسیتی تا تراکیتی (آقاداغ و ساری‌داغ) رخنمون یافته است [۲۳] (شکل‌های ۳ ب، ت). این توده‌های نیمه عمیق با بافت پورفیری اغلب از بلورهای پلاژیوکلاز، بیوتیت، آمفیبول، کوارتز و فلدسپار قلیایی تشکیل شده‌اند. روند شکستگی‌ها و گسل‌ها در این منطقه شباهت بسیاری به منطقه سلفچگان نشان می‌دهد به طوری که اگرچه بیشتر روند NW-SE دارند ولی روند عمومی و کانه‌زائی در ارتباط با توده نفوذی نیمه عمیق NE-SW است (شکل ۴ ب) [۲۳]. بنابراین شکل‌گیری این نواحی با گسلهای راستا لغز (راستگرد و چپگرد) منجر به تغییر روندهای زمین‌ساختی ماقمایی پیشین و نفوذ توده‌های نیمه عمیق و سیالهای واپسی به آنها (سامانه‌های فراگرمایی-پورفیری) در قالب رگهای سیلیسی کانه‌دار [۲۴]، در گستره زمانی میوسن تا عهد حاضر شده، است (شکل ۲ ب). مهمترین اختلاف فعالیت‌های ماقمایی منطقه قروه با سلفچگان (زواریان) نبود فعالیت ماقمایی میوسن پیشین و به نوعی تفکیک زمانی-مکانی دو فاز ماقمایی میوسن پیشین و میوسن میانی در مناطق مورد بررسی است. به بیان دیگر، در گستره زمانی میوسن پیشین تا میانی به نوعی با تشکیل ماقما در قالب تشکیل پهنه برشی راستگرد و نقش ساختار در ایجاد موقعیت مناسب برای جایگیری ماقما مواجه هستیم. به طوری که رخنمون نیافتن فاز ماقمایی میوسن پیشین در منطقه کوهین به دلیل نبود نظام یا فاز کششی محلی نسبت به منطقه سلفچگان و ایجاد مجاری خروج

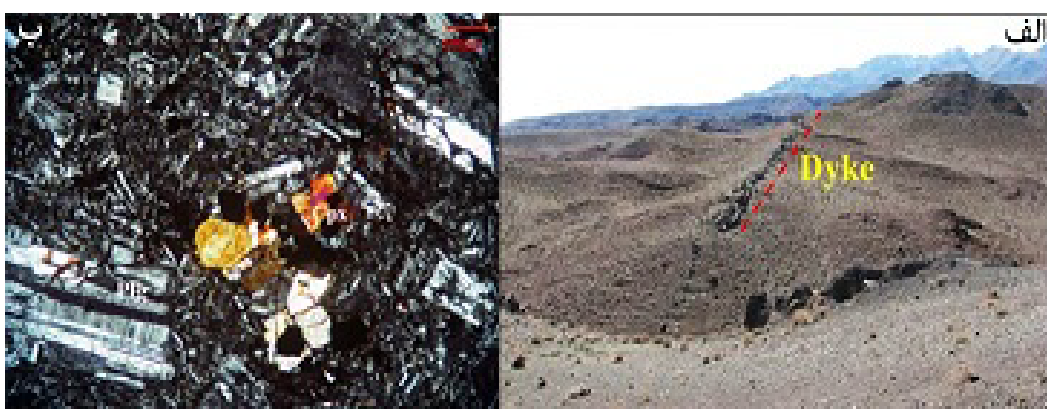
مجموعه واحدهای آتشفسانی منطقه افزون بر توده‌های نیمه عمیق، توسط دسته دایک‌های آندزیتی با راستای شمال غرب تا شمال شرق قطع شده‌اند (شکل ۷). این دایک‌ها با رنگ سبز تا خاکستری تیره توده‌های نفوذی را قطع نکرده‌اند، بنابراین به نظر می‌رسد که از نظر سنی پیش از و یا همزمان با آنها تشکیل شده باشند (شکل ۴ الف). نکته مهم در مورد وجود این دسته دایک‌ها، تأیید تداوم عملکرد فاز کششی در مراحل پایانی فعالیت ماقمایی در این منطقه است (شکل ۷). در مجموع از ویژگی‌های بارز این مجموعه سنگها می‌توان به حضور بلورهای درشت هورنبلند اشاره کرد که به نظر امامی [۱۴] از نوع پارگازیت هستند و نقش مهمی در غنی شدگی ماقمای باقیمانده از سیلیس دارند. از نظر ساختاری، گسل‌های NW-SE نقش تعیین کننده‌ای در کنترل حوضه‌های رسوی و خروج فعالیت‌های شمال شرق-جنوب غرب (NE-SW) تا جنوبی با سازوکار راستا لغزی (راستگرد-چپگرد) نه تنها باعث قطع روندهای پیشین شده، بلکه نقش مهمی در جابه-جایی آنها، ایجاد فضای کششی لازم برای جایگیری توده‌های نیمه عمیق و دایک‌ها در منطقه داشته‌اند [۱۸] (شکل ۴ الف). در مقایسه با این مجموعه آتشفسانی، کانسار ساری‌گونی را طیفی از سنگ‌های آتشفسانی چون لاتیت، تراکیت، داسیت، ریولیت و استوک‌های نیمه عمیق در بر می‌گیرند [۱۹]. این مجموعه به همراه واحدهای تخریبی اولیگوسن (سازند قرمز زیرین) و رسوی‌های دریایی الیگوسن-میوسن (سازند قم) به طور دگرشیب بر شیسته‌ها و آهک‌های ژوراسیک واقع شده‌اند (شکل ۴ ب). بنابراین، سازند قم که در محیط دریایی این منطقه تشکیل شده است، دارای رسویات آهکی و سنگ‌های آتشفسانی می‌باشد (شکل‌های ۳ ب، ت و شکل ۴ ب). افزون بر آن، قطعه‌هایی از شیسته‌ها و آهک‌ها به طور محلی درون مجموعه آتشفسانی وجود دارد که گویای قطع شدن این واحد توسط این واحد و توده‌های نیمه عمیق جوان‌تر در این منطقه هستند. این مجموعه آتشفسانی به سمت شمال، جنوب و غرب با شبیه ملایم به زیر نهشته‌های آبرفتی جوان رفته و رخنمون کمی از خود نشان می‌دهد [۲۰]. براساس بررسی‌های

هستند (بیش از ۱۶ درصد). غنی بودن این نمونه‌ها از آلومینیم، ممکن است به دلیل روند جدایش باشد، هرچند نوع ترکیب ماگما و عواملی چون دگرسانی گرمابی [۲۷] و یا غیریکنواختی مقدار آب در ناحیه خاستگاه نیز بی‌تأثیر نیست [۲۸]. کانی‌های مافیک در این نمونه‌ها بیشتر به صورت درشت بلور (پورفیری) و شامل هورنبلند، بیوتیت و گاهی پیروکسن هستند که خود دلیلی بر آبدار بودن ماگمای تشکیل‌دهنده آنهاست. بنابراین، فرآیندهای مؤثر در تشکیل این ماگما به احتمال بسیار در ارتباط با جدایش بلورین و غنی‌شدنی درون قاره‌ای است. الگوی توزیع عناصر خاکی نادر (REE)، منطقه زواریان پس از بهنجارش نسبت به کندریت [۲۹]، غنی‌شدنی نشان می‌دهند (شکل ۹). همچنین چنان که در الگوی توزیع این عناصر دیده می‌شود (شکل ۹)، عناصر خاکی نادر سبک (LREE) نسبت به عناصر خاکی نادر سنگین (HREE) غنی‌شدنی دارند، اما این غنی‌شدنی در مجموعه ساری‌گونای بارزتر است و به جدایش یافته‌گی بیشتر این مجموعه ماگمایی نسبت به مجموعه زواریان اشاره دارد (شکل ۹). این الگوهای قاشقی شکل REE (شکل ۹) اغلب با جدایش عادی مجموعه درشت‌بلورهایی چون کلینوپیروکسن و آمفیبول طی جایگیری همخوانی دارند [۳۰-۳۲]. همچنین شباهت رفتار عنصر Eu با دیگر عناصر در این مجموعه و نبود غنی‌شدنی شدید آن اشاره به گریزندگی بالای اکسیژن ماگما دارد [۳۳]. نمودار عنکبوتی تغییرات عناصر کمیاب سنگ‌های آذرین منطقه زواریان بر پایه داده‌های گوشه‌های اولیه [۳۴] بهنجار و رسم شده‌اند (شکل ۱۰). در آنها، عناصر سنگ‌دوست بزرگ یون (LILE) چون Zr, Ti, Nb غنی به عناصر با شدت میدان بالا (HFSE) چون Cs, Th, K, Sr نسبت شدگی نشان می‌دهند. از طرف دیگر، ناهنجاری منفی Ti, Nb اگرچه از ویژگی‌های فعالیت ماگمایی وابسته به فرورانش و نوع I است، می‌تواند متاثر از آلودگی ماگمای اولیه با سنگ‌های پوسته‌ای و یا دگرنهادی گوشه‌های در محیط فرورانش نیز باشد [۳۵]. همچنین غنی‌شدنی U, Th نشان دهنده آلودگی پوسته و وابسته به ویژگی‌های خاستگاه آن است [۳۶].

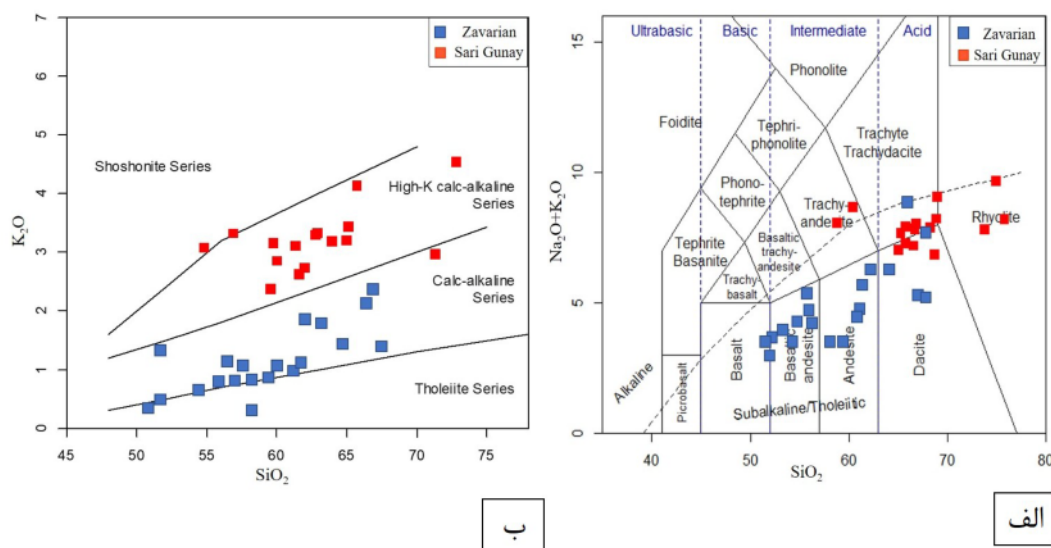
ماگمات. این امر با توجه به حضور دسته دایک‌های فراوان در منطقه سلفچگان قابل توجیه است. همچنین در کانسار ساری-گونای، با حجم کمتر و فرسایش بیشتر سنگ‌های آتشفسانی و رخنمون توده‌های نیمه عمیق داسیتی-ریولیتی به صورت دو تپه (آق‌داغ و ساری‌داغ) مواجه هستیم، این در حالی است که در کانسار زواریان، اگرچه توده‌های نیمه عمیق در مرکز مخروط آتشفسان رخنمون دارند اما ریختار مخروط آتشفسان با شبیه تند حفظ شده و ارتفاعها را تشکیل می‌دهند. بنابراین در منطقه کوهین، نسبت به منطقه سلفچگان، در گستره زمانی میوسن پیشین تا پسین (چند میلیون سال)، نقش پهنه‌های برشی راستگرد بیشتر از بالآمدگی و کشش نمود داشته است.

#### زمین‌شیمی

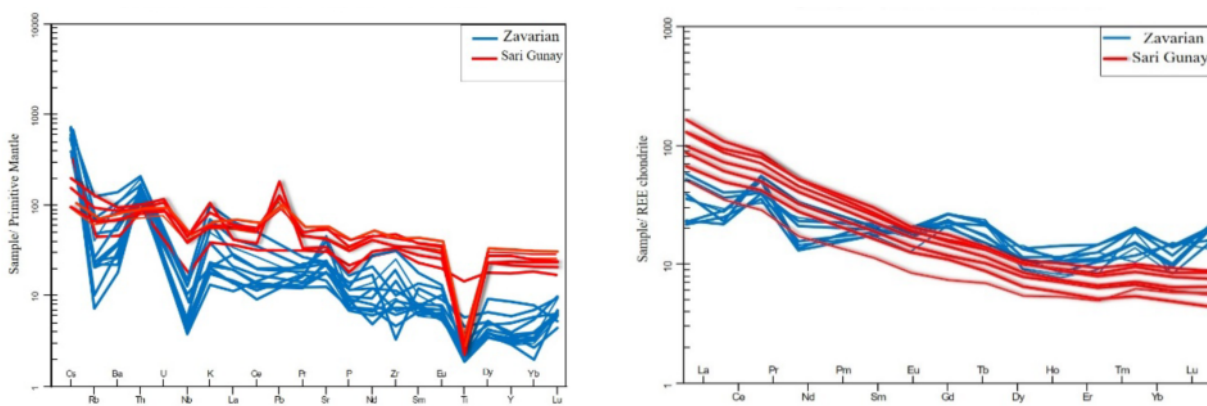
نتایج تجزیه‌های شیمیایی عناصر اصلی به روش طیفسنجی فلئورسانس پرتوی X (XRF) نمونه‌های آتشفسانی میزبان کانسار طلا- مس زواریان بر نمودار  $\text{SiO}_2\text{-}(\text{Na}_2\text{O}+\text{K}_2\text{O})$  [۲۵] در شکل ۸ الف آورده شده است. بر این اساس آنها از نظر ترکیبی، در گستره‌های بازالت، بازالت-آنذیت، تا آندزیت و داسیت (بازی تا حد واسط) و یک نمونه در گستره تراکی داسیت قرار دارند. بررسی مقدار قلیایی بودن سنگ‌های آذرین این نمونه‌ها بر اساس نمودار  $\text{SiO}_2\text{-K}_2\text{O}$  [۲۶] نشان دهنده ماهیت آهکی قلیایی این سنگ‌های است (شکل ۸ ب). این در حالی است که نمونه‌های مربوط به ساری‌گونای (شکل ۸ الف) بیشتر ترکیب تراکی آندزیت، تراکیت، داسیت و ریولیت (بیشتر فلسفی دانسته) و در گستره سنگ‌های با ماهیت آهکی قلیایی پتاسیم بالا قرار دارند (شکل ۸ ب) و به نوعی از نظر ترکیبی از سنگ‌های منطقه زواریان تفکیک می‌شوند. مقادیر  $\text{SiO}_2$  در مجموعه آتشفسانی سلفچگان متوسط تا بالا (۵۰-۶۵٪ درصد) و در نمونه‌های ساری‌گونای بالاست (۶۰-۷۵٪ درصد). از نظر  $\text{Na}_2\text{O}$  و  $\text{K}_2\text{O}$  در مجموع نمونه‌های ساری‌گونای غنی‌شدنی بیشتری نسبت به ماگمای زواریان نشان می‌دهند. تمرکز Mg و Ti در مجموعه آتشفسانی سلفچگان به نسبت کم ( $>5\%$ ) است، در حالی که از نظر آلومینیم غنی ( $\text{TiO}_2 > 0.9\%$ ) و MgO



شکل ۷ دایک‌های منطقه، (الف) دایک‌های آندزیتی که واحدهای آتشفسانی میوسن را قطع کرده‌اند ب و ج) نمایی میکروسکوپی از دایک‌های آندزیتی



شکل ۸ (الف) نام‌گذاری شیمیابی واحدهای آتشفسانی میزان کانه‌زایی در منطقه زواریان، در مقایسه با ساری گونای با استفاده از نمودار (Na<sub>2</sub>O+K<sub>2</sub>O)-SiO<sub>2</sub> برگرفته از [۲۵] ب) بررسی میزان آلkalینیت منطقه زواریان و ساری گونای [۲۶].



شکل ۱۰ نمودار فراوانی عناصر کمیاب نسبت به گوشته اولیه در منطقه زواریان و ساری گونای برگرفته از [۳۴].

آذرین در منطقه زواریان کمتر از منطقه ساری‌گونای است (شکل‌های ۱۳ و ۱۴). این دگرسانی با دور شدن از توده‌های نیمه عمیق و دگرسانی سیلیسی کاهش یافته و در لبه به دگرسانی پروپلیتی تبدیل می‌شود (شکل‌های ۱۲ و ۱۳). دگرسانی سریسیتی (فیلیک) از بارزترین و مشخص‌ترین دگرسانی‌های گرمابی در این مناطق است و بیشترین رخنمون و شدت را پیرامون توده‌های نیمه عمیق نشان می‌دهد (شکل ۱۲). این دگرسانی در منطقه زواریان گسترش محدودتری دارد و رخنمون آن بیشتر مربوط به دره‌های عمیق شمال شرق منطقه، در کنار توده‌های نیمه عمیق است (شکل‌های ۱۲ الف و ۱۳ ب). این دگرسانی، بویژه در منطقه ساری‌گونای، رابط نزدیکی با دگرسانی آرزیلیک نشان می‌دهد، به طوری که توسط پهنه باریکی از دگرسانی آرزیلیک در برگرفته شده و در لبه‌های به دگرسانی پروپلیتیک تبدیل می‌شود (شکل ۱۲ ب). دگرسانی سیلیسی مهمترین نوع دگرسانی در این ذخائر است که هسته سامانه‌های گرمابی را در توده‌های نیمه عمیق و حواشی آها، به خود اختصاص می‌دهند (شکل ۱۲). این دگرسانی در کانسار زواریان گسترش بیشتری دارد، که با توجه به بازدیدهای صحرایی و مقایسه آن با نقشه زمین‌شناسی، بنظر می‌رسد که عمدۀ آن بازتاب واحدهای آذرآواری به شدت سیلیسی رخنمون یافته در منطقه است (شکل ۱۲). این دگرسانی بیشتر به صورت پهنه‌های سیلیسی شده و یا در راستای ساختارهای کششی (گسل‌ها)، به صورت یک سامانه شکستگی شامل دسته رگه سیلیسی- سولفیددار با شیب و روند مختلف (اغلب NE) در هر دو منطقه گسترش دارد (شکل ۱۲). این توزیع از نفوذ سیال‌های گرمابی، ترجیحاً از راههای عبور گسلی (راههای تغذیه‌کننده و رگه‌ای شکل) به بخش‌های بالاتر با پرnomodن فضاهای خالی و برش‌های گرمابی ناشی شده است. از ویژگی‌های بافتی این نوع دگرسانی وجود بافت‌های شکافه‌پرکن، برشی، شانه‌ای، کوکاد، توده‌ای، حفره‌ای، موژائیکی و داربستی است (شکل ۱۳). در این بین، برش‌های گرمابی از مشخصه‌های این سامانه و سامانه‌های فراگرمابی هستند [۱۴]. این نوع دگرسانی بیشتر در درون دگرسانی آرزیلیک و روی آن قرار می‌گیرد (شکل ۱۲). سرانجام، اکسیدهای آهن در منطقه (شکل ۱۲) به صورت گوتیت، ژاروسیت و لیمونیت به همراه دگرسانی‌های سیلیسی، آرزیلیک و سریسیتیک دیده می‌شوند [۱۴]. نکته مهم در ارتباط با دگرسانی‌های اصولی گرمابی در

ناهنجاری‌های مثبت Eu, Sr نیز به خاستگاه گوشه‌ای سنگ-های این ماقما که در ذوب گوشه سیال‌ها نقش داشته‌اند، اشاره دارند [۳۷]. این نتایج در مقایسه با مجموعه میزبان ساری‌گونای روند ملایم‌تری را نشان می‌دهد، هرچند که در منطقه ساری‌گونای غنی‌شدگی سرب بسیار بیشتر است و اشاره به آلدگی پوسته‌ای بیشتر ماقمای این بخش نسبت به زواریان دارد. بررسی جایگاه زمین‌ساختی بر اساس نمودارهای مراجع [۳۹, ۳۸] و داده‌های عنصر کمیاب اشاره به حضور هر دو مجموعه ماقمایی میزبان کانه‌زایی در کرانه فعال قاره‌ای دارند (شکل ۱۱). بنابراین، ترکیب شیمیایی ماقما و جایگاه تشکیل این نوع ماقماها در کنار دیگر شواهد زمین‌شناسی صحرایی، سن‌سنگی و نسبت دادن زمان برخورد به الیگومیوسن [۴۰]، بیانگر جایگاه تشکیل این مجموعه ماقمایی وابسته به کمان در حوضه‌های کم‌عمق درون قاره‌ای طی مراحل کششی همزمان با بالا‌آمدگی و پس از برخورد است (شکل ۱۱). در مجموع، این موارد به نوعی به جدایش و شدت آلدگی‌های متفاوت این مجموعه‌های ماقمایی در توالی‌های زمین‌شناسی و نظامهای ساختاری محلی مختلف اشاره دارند.

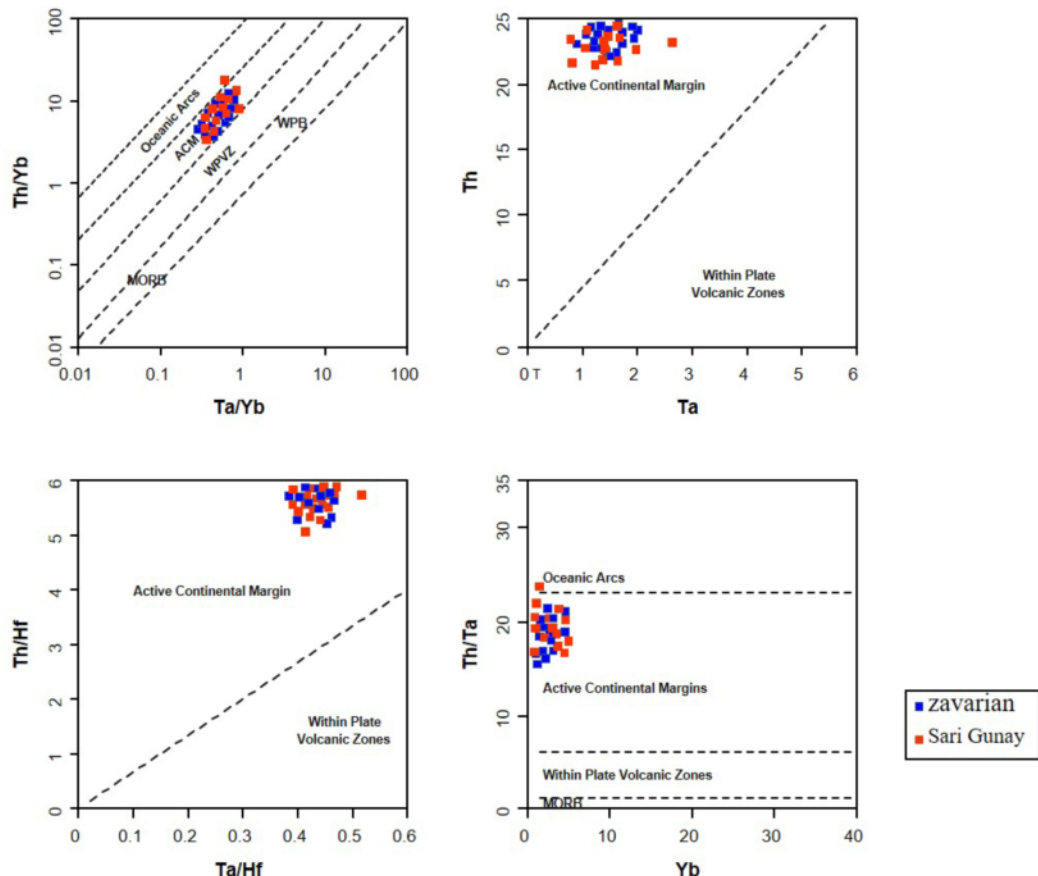
### دگرسانی گرمابی

بررسی‌های اصولی دستگاهی و پردازش داده‌های ماهواره‌ای آستر در این مناطق، اشاره به وجود انواع دگرسانی گرمابی چون سیلیسی، سریسیتی، آرزیلی، پروپلیتی و سرانجام اکسیدهای آهن دارد که بر انواع دگرسانی‌های پیشین اعمال شده است (شکل ۱۲). این دگرسانی‌ها اغلب در کنار و درون توده‌های نیمه عمیق و در راستای شکستگی‌ها با روند تقریبی شمال شرقی- جنوب غربی گسترش دارند، هرچند شدت آن پیرامون رگه‌های کانه‌دار بیشتر است [۱۹, ۸۷]. این دگرسانی‌ها از مرکز (دگرسانی سیلیسی) به سمت لبه‌ها، به نوعی منطقه‌بندی از خود نشان می‌دهند (شکل ۱۲). به طوری که دگرسانی پروپلیتی اغلب در بخش بیرونی دیگر دگرسانی‌ها، گسترش بیشتری (بویژه در منطقه زواریان) دارد (شکل ۱۲).

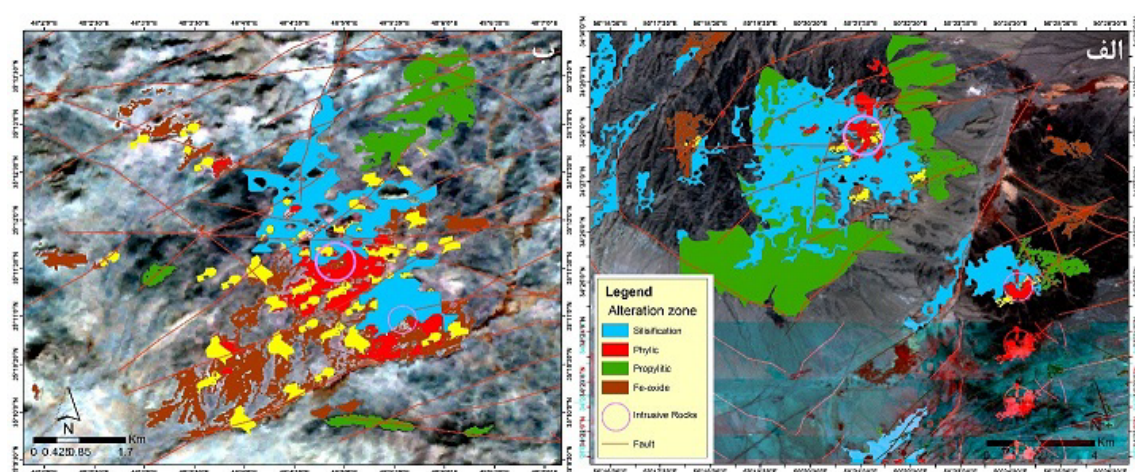
دگرسانی آرزیلی، متداول‌ترین نوع دگرسانی گرمابی بوده، اما گسترش آن در این منطقه‌ها، پیرامون بخش‌های سیلیسی و در راستای گسلهای با روند شمال شرقی- جنوب غربی قابل تشخیص است (شکل ۱۲). اگرچه این دگرسانی اغلب به خوبی گسترش یافته، ولی بافت اولیه سنگ میزبان (پورفیری) در آن حفظ شده است (شکل ۱۳). شدت این دگرسانی در واحدهای

سیال‌های جوی و چرخش آبگرم در آن، نسبت به منطقه زواریان باشد. این امر با توجه به حضور چشمه‌های آبگرم و فرآیند تراویرتن سازی گسترده در منطقه ساری‌گونای قبل توجیه است.

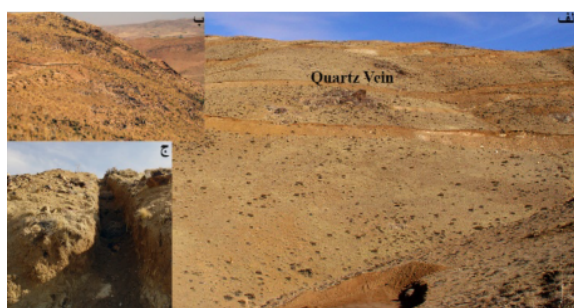
این مناطق افزون بر شباهت، گسترش بیشتر آنها در گستره کانه‌زایی ساری‌گونای نسبت به زواریان است که ممکن است به دلیل بالاً‌مدگی و فرسایش بیشتر بخش‌های رویی با توجه به حضور گنبدهای داسیتی (ساری‌داغ و آق‌داغ) و نقش بیشتر



شکل ۱۱ تفکیک زمین‌ساختی ماقمایی نمونه‌های منطقه زواریان مریع آبی و منطقه ساری‌گونای مریع قرمز براساس نمودارهای مرجع [۳۸].



شکل ۱۲ توزیع دگرسانی‌های اصولی گرمابی نسبت به توده‌های نفوذی و ساختارها در مناطق (الف) زواریان و (ب) ساری‌گونای



شکل ۱۴ نمایی از دگرسانی‌های گسترده اغلب آرژیلیکی در منطقه ساری‌گونای، (الف) دگرسانی آرژیلیکی همراه با رگه‌های کوارتز، (ب) نمایی نزدیک تر از رگه‌های سیلیسی، (پ) ترانشه با عرض و عمق تقریبی یک متر در دگرسانی آرژیلیک.



شکل ۱۳ نمایی از دگرسانی‌های محدود در منطقه زواریان: (الف) دگرسانی آرژیلیک در داخل واحد آندزیتی و پروپیلیتیک، (ب) دگرسانی آرژیلیک و فیلیک در تصویر الف و در کنار رگه سیلیسی، (پ) نمونه دستی حاوی دگرسانی آرژیلیک و اکسیدهای آهن.

های گرمابی دربردارنده سولفیدهای مس (رگچه‌های سیلیسی-سولفیدی) ادامه یافته و با سولفیدی شدن و تهنشست اصلی کانه‌زایی طلا در حفره‌ها و شکستگی‌ها پایان می‌یابد (شکل ۱۵). گفتنی است که این رگه‌ها و برشها کاملاً توده‌های نفوذی را قطع نموده‌اند (شکل‌های ۱۱الف، ت) و اشاره به تاخیری بودن این فاز سیال نسبت به توده‌ها دارد. سرانجام، فرآیند عمومی بروزنزایی بر آنها اعمال می‌شود که در این بخش با کانی اسپیکولاریت همراه است (شکل ۱۵ ج). بنابراین، این کانه‌زایی طی فعالیت گرمابی و در ارتباط با مجموعه آتشفسانی-نفوذی وابسته به کمان و کانسارهای فراگرمابی و با سولفیدشدنگی بالا بیشترین شباهت را نشان می‌دهد.

این در حالی است که توده نفوذی نیمه عمیق و گنبدهای داسیتی-ریولیتی سنگ میزبان اصلی سامانه رگه‌ای طladar و عناصر همراه در کانسار طلا-نقره-آرسنیک-سرپ-روی-مس ساری‌گونای هستند (شکل ۱۶ الف). بررسی نمونه‌های سنگ زمین‌شیمیایی [۴۳]، همبستگی آشکاری بین عنصر Sb, As, Au در این کانه‌زایی نشان می‌دهد، به طوری که بیشترین تمرکز این عنصر و همروند با آنها عنصر Zn, Ag, Hg محدود به رگه‌ها و پهنه‌های سیلیسی سولفیددار و نیز رگچه‌هایی است که در برخی مناطق در پهنه دگرسانی آرژیلی قرار دارد. در این کانسار، در مجموع ۱۲ رگه و پهنه سیلیسی-سولفیدی کانه‌دار شناسایی شده‌اند که از بین آنها، ۳ رگه، اصلی ترین رگه‌های کانه‌دار هستند [۱۹]. دگرسانی‌ها بر اساس نتایج XRD، بیشتر از نوع گرمابی و شامل کلریتی (پروپیلیتی)، آرژیلیک، سربیستی، تورمالینی و سیلیسی‌شدن هستند [۱۹]. مراحل کانه‌زایی در این کانسار شامل تشکیل دگرسانی و سیلیس باقیمانده (شکل ۱۶)، سپس رگه‌های سیلیسی-منیتیتی-ایلمنیتی (تورمالینی) (شکل ۱۶ ب)، رگچه‌های سیلیسی-

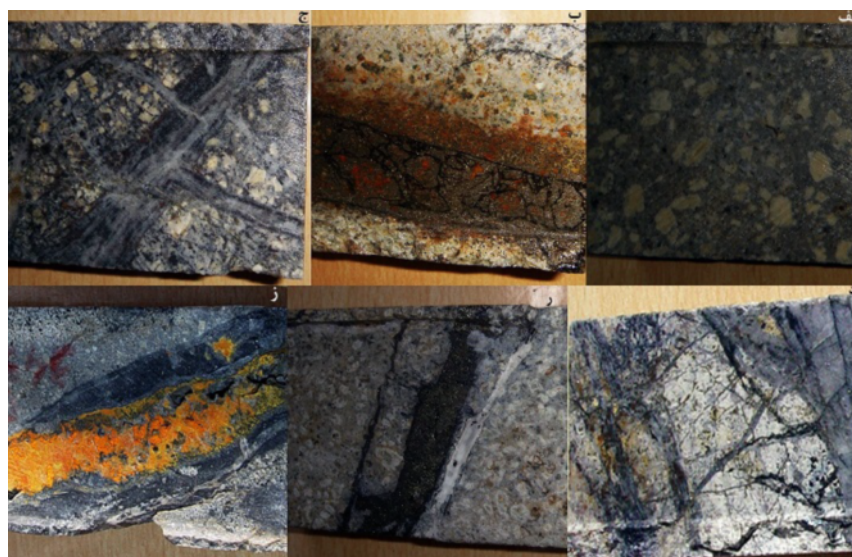
**کانه‌زایی**  
براساس بررسی‌های سنگ زمین‌شیمیایی و بازدیدهای صحرایی انجام شده [۱۵]، بیشترین کانه‌زایی طلا-مس در پهنه کانه‌دار زواریان، به صورت کاملاً قطع کننده (رگه-رگچه)، برشی و سولفیددار (پیریت-کالکوپیریت)، در ۹ رگه اصلی و لبه دگرسان آنها تمرکز یافته است (شکل‌های ۴ الف و ۱۵). این رگه‌ها اغلب با روندی هم سو و موازی با دایک‌های منطقه (شمال‌شرق-جنوب غرب تا شمالی-جنوبی)، با ضخامت و طول متغیر درون و یا کنار توده‌های نفوذی بیشترین گسترش را از خود نشان می‌دهند (شکل ۴ الف). همبستگی بین عناصری چون مولیبدن، بیسموت، آرسنیک، آنتیموان، نقره، کادمیوم و مس با طلا، به خاستگاه ماقمایی این سیال‌ها اشاره دارند [۴۱]. این امر، با توجه به آزمون‌های اولیه فرآوری به روش سیانید بر نمونه‌های این کانه‌زایی (در مقیاس پایلوت) و تعیین عیار ۱/۹ گرم بر تن با وجود ذرات میکرونی طلا در اندازه‌های مختلف (اغلب کمتر از ۷۴ میکرون و حضور طلا به همراه نقره (الکتروم)، جیوه و آرسنیک تائید می‌شود [۴۲]. سن کانه‌زایی در این کانه‌زایی براساس سن سنجی به روش Ar-Ar از سنگ میزبان دیوریتی از کانسار طلا-مس پورفیری دالی (در همین مجموعه آتشفسانی و جنوب این کانه‌زایی و در واحد سنگی میزبان مشابه) حدود ۲۱ میلیون سال پیش (میوسن پیشین) گزارش شده است [۱۸]. براساس بررسی‌های کانه‌نگاری، تجزیه‌های شیمیایی و پراش پرتونی  $\times$  (XRD) [۴۱] این سامانه با ایجاد انواع دگرسانی وابسته به توده نفوذی (تشکیل سیلیس باقیمانده) فعالیت خود را آغاز نموده و با رگه‌های سیلیسی-منیتیتی-ایلمنیتی  $\pm$  تورمالین (دگرسانی سیلیسی-اکسیدی) در راستای شکستگی‌ها و برشها، نخستین فاز کانه‌زایی را ایجاد می‌کند (شکل ۱۵). کانه‌زایی با برش‌های گرمابی و نفوذ سیال-

رگه‌های فراگرمایی کوارتز، پیریت، استیبنیت، رآلگار، ارپیمان و طلا که به صورت آزاد در کوارتز و درون شبکه پیریت حضور دارند، می‌رسد [۱۹]. سن این کانه‌زایی براساس سن دگرسانی سریسیتی ناشی از فرآیند گرمابی، حدود  $10^3$  تا  $10^8$  میلیون سال پیش در نظر گرفته شده است [۱۹].

سولفیدی (شکل‌های پ تا ج) و سرانجام برونزادی است. بر این اساس، به نظر شکل‌گیری، سامانه گرمابی ساری‌گونای یک رخداد رگه‌های شبه پورفیری دما بالاست که در عمق شروع شده، سپس توسط رگه‌های برشی کوارتز- تورمالین- سرسیتی بعدی، رگه‌های پیشین را قطع می‌کند و سرانجام به



شکل ۱۵ نمونه‌های دستی نشانگر مراحل کانه‌زایی در زواریان؛ (الف) رگه‌های سیلیسی-منیتی-ایلمنیتی (تورمالینی) در گرانوڈیوریت، دیوریت، (ب،پ) رگه رگچه‌های سیلیسی-سولفیدی کانه‌دار (ت) برش‌های گرمابی دربردارنده فاز اکسیدی سیلیسی-منیتی-ایلمنیتی (تورمالینی) در توده نیمه عمیق (ث) برش‌های گرمابی سیلیسی-سولفیدی کانه‌دار درون رگه سیلیسی، (ج) برش گرمابی در برونزایی دربردارنده اکسیدهای آهن و الیزیست.



شکل ۱۶ نمایی از مراحل کانه‌زایی در کانسار ساری گونای؛ (الف) توده نیمه عمیق دیوریتی با بافت پورفیری در عمق ۲۵۰ متری دربردارنده هماتیت بصورت دانه پراکنده، (ب) رگه سیلیسی-اکسیدی با سولفید کم شامل تورمالین، هماتیت و به مقدار کمتر پیریت در دیوریت پورفیری و عمق ۴۲۸ متری، (پ،ت) بافت داربستی دربردارنده کوارتز، پیریت، کالکوپیریت در دیوریت پورفیری و عمق ۴۷۶ متری، (ث) رگه سیلیسی شامل کالکوپیریت و پیریت در دیوریت پورفیری در عمق ۳۰۰ متری، (ج) رگه دربردارنده رآلگار، ارپیمان، پیریت در عمق ۳۰۰ متری (همه این تصاویر مریبوط به هفاری با قطر ۷-۸ سانتی متر هستند).

آرژیلیک (مرحله پیش از کانه‌زایی) در کانسار ساری‌گونای نسبت به گستردگی کم و محدود به لبه رگه‌ها در کانسار زواریان می‌تواند به دلیل سطحی‌تر بودن کانه‌زایی در این کانسار باشد که با حضور کانه‌های دما پائین چون رالگار و ارپیمان در آن و نبود آن‌ها در کانسار زواریان تایید می‌شود. بنابراین، همبستگی آشکاری میان کانی‌سازی و محلول‌های گرمابی در این ذخائر وجود دارد و ویژگی این محلول‌ها نقش اساسی و تعیین کننده در این کانی‌سازی‌ها دارد.

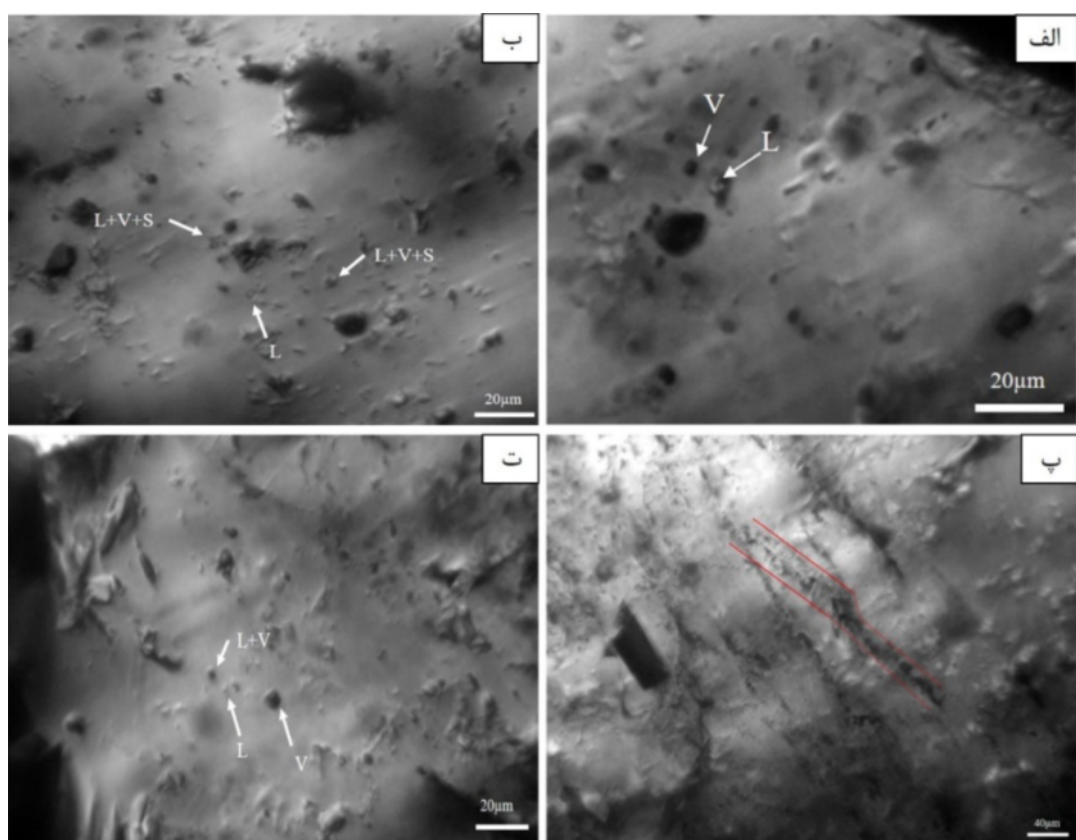
#### سیال‌های درگیر

برای شناسایی ویژگی‌های سیال کانه‌ساز [۴۶-۴۴]، سیال‌های درگیر برای رگه‌های سیلیسی سولفیدی طladar در منطقه زواریان بررسی شدند. در این نمونه‌ها، گرچه بررسی‌ها بر میانبارهای اولیه، با اندازه  $30-10$  میکرون انجام شد، ولی سیال‌های درگیر ثانویه و ثانویه کاذب با شکل‌های متفاوت از جمله گرد، میله‌ای و نامنظم دیده شدند (شکل ۱۷). از موارد قابل توجه در این بررسی، وجود میانبارهای با پدیده باریک شدگی است. وجود چنین میانبارهایی همراه با میانبارهای با شکل‌های کشیده مانند سوزنی و میله‌ای شکل، می‌تواند در ارتباط با زمین‌ساخت فعال در منطقه مورد بررسی باشد، که در این شرایط، میانبارهای اولیه دارای شکل منفی بلوری کانی گرفته‌اند [۴۷]. میانبارهای اولیه دارای شکل منفی بلوری کانی میزبان خود یعنی کوارتز هستند. براساس رده‌بندی‌های رودر [۴۴]، سیال‌های اولیه از نوع تک‌غاز مایع (L)، تک‌غاز گازی (V)، سه‌غازی مایع-گاز-جامد (L+V+S)، دو‌غاز گاز-مایع (V+L) و دو‌غازی مایع-گاز (L+V) هستند (شکل ۱۷). حضور سیال‌های درگیر غنی از بخار در این مقاطع همراه با میانبارهای سه‌غازی به نوعی گویای شرایط فشار کم و دمای بالا در زمان به دام افتادن آنهاست [۱۹]. همچنین، حضور همزمان نوع سیال غنی از مایع و غنی از گاز به فرآیند جوشش سیال در زمان تشكیل اشاره دارد [۴۸]. فرآیند جوشش اگرچه از مشخصه‌های بارز کانسارهای فراگرمایی با سولفیدشدنی پایین است، اما در برخی از کانسارهای فراگرمایی با سولفیدشدنی بالا نیز گزارش شده است [۴۹]. بیشترین دمای همگن شدگی در این نمونه‌ها حدود  $350$  درجه سانتی‌گراد و کمترین آن حدود  $220$  درجه سانتی‌گراد است (شکل ۱۸ الف). در این بین، بیشترین فراوانی نمونه‌ها مربوط به دمای  $320-310$  درجه سانتی‌گراد و میانگین حدود  $300^{\circ}\text{C}$  است. بیشترین شوری

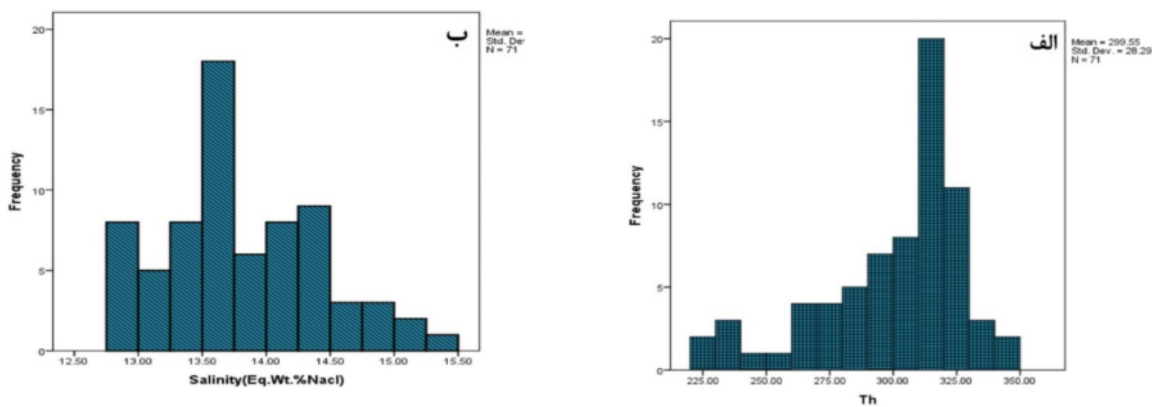
بر این اساس، اگرچه هر دو کانسار از نظر تشکیل فازهای اکسیدی و سولفیدی شباهت‌هایی نشان می‌دهند، ولی در نسبت و مقدار فازهای سولفیدی و اکسیدی تفاوت‌هایی دارند. برای مثال، فاز اکسیدی در کانسار زواریان نسبت به فاز سولفیدی گسترش بیشتری دارد. در مرحله اکسیدی، ایلمینیت، مگنتیت، هماتیت، تورمالین و همچنین کوارتز و به مقدار بسیار کم کانه‌های سولفیدی در هر دو کانه‌زایی وجود دارند، ولی فراوانی بیشتر آن‌ها در کانسار زواریان اشاره به نزدیک‌تر بودن آن به توده و نیز همراهی مس در این مرحله دارد که در کانسار ساری‌گونای مقدار آن کمتر است. همچنین از نظر ارتباط زایشی کانه‌زایی در کانسار زواریان وابسته به توده گرانودیوریتی تا دیوریتی است، در صورتی که در کانسار ساری‌گونای، توده‌های نفوذی در ارتباط با کانه‌زایی بیشتر دیوریت‌هایی هستند که در عمق کمتر با گنبدهای داسیتی و ریولیتی جایگزین شده‌اند. از این رو نکته مهم در مورد این سامانه‌های کانه‌زایی ارتباط آنها با توده‌های نیمه‌عمیق (دیوریتی) است که با رگه‌های کانه‌دار یکی در سطح و دیگری در عمق قطع شده‌اند. کانه‌زایی در زواریان در ارتباط با رگه‌های سیلیسی جدا شده از توده مآگمایی است که در سطوح عمیق‌تری جایگیر شده و به اصطلاح کانه‌زایی فراگرمایی وابسته به توده پورفیری و فراگرمایی با سولفیدشدنی بالاست. این در حالی است که کانسار ساری‌گونای در ارتباط با توده نیمه‌عمیق کم عمق‌تر و متاثر از چرخش سیال‌های جوی و سامانه‌های فراگرمایی حدواتسط است. به بیان بهتر، این دو کانه‌زایی پس از نفوذ توده نفوذی رخ داده‌اند، با این تفاوت که در کانسار زواریان به دلیل فاز کششی غالب و ترکیب توده، کانه‌زایی طلا-مس در خود توده و کنار آن وجود دارد، در صورتیکه در ساری‌گونای به دلیل توقف توده و جدایش بیشتر، با چرخش بیشتر سیال‌های جوی و نمود سامانه‌های فراگرمایی حدواتسط در خارج از توده‌های نیمه‌عمیق و درون گنبدهای ریولیتی و داسیتی مواجه هستیم. همچنین، تفاوت ترکیب توده در کانسار زواریان با کانسار ساری‌گونای می‌تواند دلیل تفاوت کانی شناسی در این کانسارها یعنی غلبه بیشتر مس (کانی‌های پیریت و کالکوپیریت) بر سرب و روی در زواریان نسبت به ساری‌گونای بوده باشد. البته، این امر به نوعی به عمق نیز اشاره دارد، به طوری که در حفاریهای انجام شده در کانسار ساری‌گونای، با افزایش عمق مقدار مس بیشتر می‌شود. همچنین حضور گستره‌ده دگرسانی

درگیر از رگه‌های کوارتز-سولفید-مگنتیت، رگه‌های کوارتز-تورمالین و رگه‌های کوارتز-پیریت-استیبینیت منطقه ساری-گونای [۱۹] دمای همگن شدگی ۲۴۶ تا ۳۶۰ درجه سانتی‌گراد همچنین شوری ۴۳۴ تا ۱/۴۶ درصد معادل وزنی نمک طعام را نشان می‌دهد [۱۹]. این نتایج به مقدار شوری کمتر سیال‌های کانه‌دار در کانه‌زایی ساری‌گونای نسبت به زواریان و نقش بیشتر سیال‌های جوی در این کانه‌زایی اشاره دارد. بنابراین آگرچه با توجه به تفکیک گستره‌های سیال‌های گرمابی بر اساس دما و شوری، سیال‌های کانسار زواریان و ساری‌گونای در گستره کانسارهای فراگرمایی قرار دارند، اما به دلیل اختلاف شوری این ذخائر از تفکیک برخوردار می‌باشند [۵۳]. بهیان بهتر، سیال‌های کانه‌دار در کانه‌زایی زواریان غلظت سیال ماقمایی بیشتری نسبت به ساری‌گونای دارند و به سامانه‌های پورفیری نزدیک‌تر هستند.

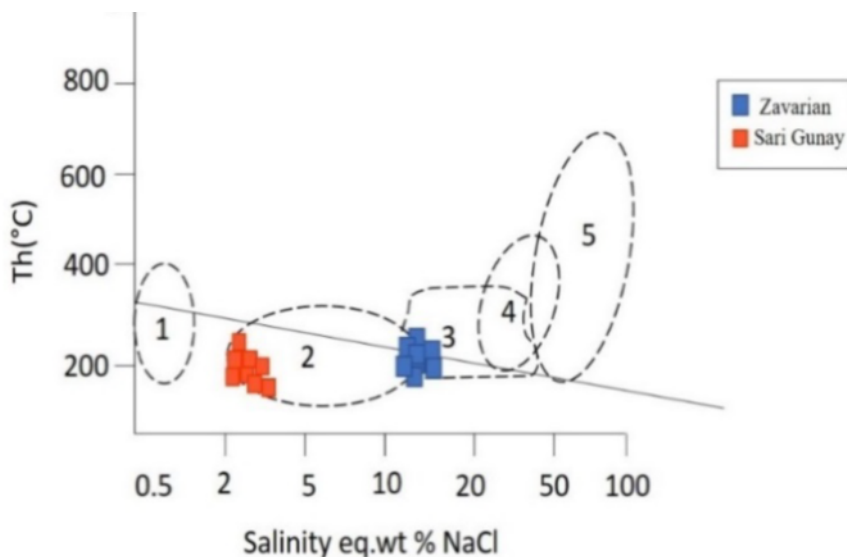
میانبارهای شامل فاز جامد (بلور هالیت) برپایه فرآیند انجماد و نقطه ذوب آخرین بلور یخ، با نرم افزار Flincor ۱۲.۵-۱۵.۵ درصد وزنی نمک طعام محاسبه شد (شکل ۱۸ ب). بنابراین، در کانسار زواریان دمای همگن شدگی به نسبت بالا ( $-220^{\circ}\text{C}$ ) (۳۵۰ مقدار شوری متوسط ( $15-12$  درصد) است. داده‌ها روندی از سیال با شوری و دمای بالاتر به سیالی با دمای پایین-تر را نشان می‌دهند که به آمیختگی سیال‌های ماقمایی و سیال‌های جوی اشاره دارد [۵۰، ۵۱]، همچنین نتایج به دست آمده از تفکیک گستره‌های سیال‌های گرمابی بر اساس دمای همگن شدگی و شوری [۵۲]، این کانسار را در گستره کانسارهای فراگرمایی معرفی می‌نماید (شکل ۱۹). بنابراین کاهش دما و در پی آن کاهش فشار را می‌توان از مهم‌ترین سازوکارهای کاهش حلالت کمپلکس‌ها و تهنشینی طلا در این کانه‌زایی در نظر گرفت [۴۸]. یافته‌ها با نتایج بررسی سیال‌های



شکل ۱۷ تصاویر میکروسکوپی از سیال‌های درگیر منطقه زواریان، (الف) سیال‌های غنی از فاز بخار (V) و سیال‌های غنی از مایع (L)، (ب) سیال‌های غنی از مایع L و سه فاز (L+V+S)، (پ) سیال‌های غنی از مایع (L) و سیال‌های غنی از فاز بخار (V) و دو فازی (L+V).



شکل ۱۸ (الف) نمودار فراوانی دمای همگن شدگی و (ب) نمودار مقدار شوری در منطقه زواریان



شکل ۱۹ نمودار دمای همگن شدگی-شوری سیال‌ها در سامانه‌های گرمابی در دو منطقه زواریان و ساری گونای [۵۲].

است. بررسی‌های ساختاری به نقش کلیدی گسل‌های راستگرد (پنه برشی) در کنترل حوضه‌های رسوبی میوسن (سازند قم) و ایجاد شرائط لازم برای کشش‌های محلی و خروج فعالیت آتشفسانی در این نواحی اشاره دارد. ماهیت سنگ‌های آذرین منطقه زواریان و ساری گونای به ترتیب آهکی قلیایی و آهکی قلیایی با پتاسیم بالاست. این سنگ‌ها از نظر ترکیب دارای ماهیت آهکی قلیایی و بر اساس الگوی تغییرات عناصر کمیاب HREE و خاکی نادر (غنی‌شدگی LREE, LILE نسبت به Eu, HSFE و ناهنجاری منفی Ti, Nb) و ناهنجاری‌های مثبت Sr دارای ویژگی ماقماهای وابسته به فرورانش با مقادیر آلدگی پوسته‌ای متفاوت هستند آنها از نظر زمانی نیز با پس از برخورد هم‌خوانی دارند. پردازش داده‌های ماهواره‌ای نشان

#### برداشت

سنگ‌های آتشفسانی ترشیری (نژوزن) میزبان ذخائر طلای فراگرمایی زواریان و ساری گونای، چون اغلب ذخائر فراگرمایی-پورفیری غرب کشور، از نظر زمین دینامیکی منطبق بر کرانه فعال قاره‌ای و بخش داخلی کوهزاد زاگرس در کمریند ماقمایی ارومیه-دختر و پنهنه سندنج-سیرجان هستند [۳]. عده واحدهای رخنمون‌یافته در این مناطق از نظر محیط تشکیل، شامل سنگ‌های رسوبی و آتشفسانی الیگومیوسن (معادل سازندهای قرمز زبرین، قم و قرمز بالائی) بوده که از نظر محیط رسوبگذاری، وابسته به حوضه‌های کم‌عمق درون قاره‌ای هستند. سنگ میزبان کانه‌زایی در آنها شامل مجموعه‌های آتشفسانی به سن میوسن پیشین تا میانی با ترکیب غالب حدوداً ۶۰٪ تا ۶۵٪

افزوده می‌شود، به طوری که ترکیب فعالیت ماقمایی از میوسن پیشین به میانی با جدایش یافتنگی و قلیائیت بیشتر همراه است، این امر منجر به جایگیری آنها در سطوح کم عمق تر و در نتیجه درگیر شدن بیشتر سیال‌های جوی و گسترش دگرسانی در آنها شده است. به بیان بهتر، تشکیل ماقمایی فازهای ماقمایی میوسن پیشین و میانی در این مناطق در ارتباط با تشکیل پهنه‌های برشی راستگرد و ایجاد کشش‌های محلی در فازهای کوهزایی پس از برخورد است.

#### مراجع

- [1] Emami M. H., "Magmatism in Iran. Geological Survey and Mineral Exploration Organization", page 608(2000).
- [2] Alavi M., "Tectonic of the Zagros orogenic belt of Iran: new data and interpretations: Tectonophysics", v. 229 (1994) p. 211-239.
- [3] Heidari S. M., Mossavi Makooi S. A., Mirzakhanian M., Rasoli F., Ghaderi M., Abadi A. R., "A review of tectonomagmatic evolution and gold metallogeny in the inner parts of Zagros orogeny: a tectonic model for the major gold deposits, western Iran", Eurasian Mining, 1 (2006) 3-20.
- [4] Ghasemi A., Talbot C.J., "A new tectonic scenario for the Sanandaj-Sirjan Zone (Iran)", Journal of Asian Earth Sciences 26 (2006) 683-693.
- [5] Richards J. P., Sholeh A., "The Tethyan tectonic history and Cu-Au metallogeny of Iran. Tectonics and Metallogeny of the Tethyan Orogenic Belt. Society of Economic GeologistsI, Special Publication, 19 (2016) 193-212.
- [6] Yigit O., "Gold in Turkey-a missing link in Tethyan metallogeny", Ore Geology Reviews, v. 28, (2006) p. 47-179.
- [7] Alaei Mehabadi S., "Geological map 1: 100,000, Salafchegan", Geological Survey of Iran (2000).
- [8] Khannazer N.H., "Geological map 1: 100,000, Kuhin", Geological Survey of Iran (2015).
- [9] Stockli D.F., Hassanzadeh J., Stockli L.D., Axen G., Walker J.D., Dewane T.J., "Structural and geochronological evidence for oligo-miocene intra-arc low-angle detachment faulting in the Takab-Zanjan area, NW Iran", Geological Society of America Abstracts with Programs, v. 36 (2004) n. 5, p. 319.
- [10] Moritz R., Ghazban F., Singer B.S., "Eocene gold ore formation at Muteh, Sanandaj-Sirjan tectonic zone, Western Iran: A result of late-stage extension and exhumation of metamorphic basement rocks within the Zagros Orogen": Economic Geology, v. 101 (2006) p. 1497-1524.

دهنده انواع دگرسانی گرمابی در ارتباط با توده‌های نیمه‌عمیق چون سیلیسی، سریسیتی، آرژیلیک، پروپلیتیک و اکسیدهای آهن دارای منطقه‌بندی است. این دگرسانی‌ها، اغلب در راستای شکستگی‌ها با روند تقریبی شمال شرقی- جنوب غربی گسترش دارند، هرچند شدت آن‌ها پیرامون رگه‌های کانه‌دار بیشتر است. البته این دگرسانی‌ها در منطقه ساری‌گونای گسترش بیشتری، نسبت به منطقه زواریان دارند. نوع دگرسانی‌های گرمابی و پراکندگی آن به همراه توزیع رگه‌های سیلیسی کانه‌دار در کثار و درون توده‌های نیمه‌عمیق و نیز نوع توالی کوهزایی با حضور مگنتیت، تورمالین (فاز اکسیدی) و سولفیدهایی چون کالکوپیریت و پیریت (فاز سولفیدی) به نقش سیال‌های ماقمایی در تشکیل این کوهزایی‌ها اشاره دارد. البته تمرکز بیشتر فازهای اکسیدی نشانگر نزدیکتر بودن به توده، نقش پرنگتر سیال ماقمایی در تشکیل کوهزایی و همراهی مس با کوهزایی طلا در کانسار زواریان و بخش‌های عمیق در کانسار ساری‌گونای است. بنابراین، کوهزایی زواریان در ارتباط با رگه‌های سیلیسی وابسته به توده ماقمایی جایگیر شده در عمق بیشتر انجام شده و به اصطلاح کوهزایی طلا-مس فراگرمایی مربوط به توده با سولفیدشدگی بالاست، در صورتیکه کانسار ساری‌گونای در ارتباط با توده نیمه‌عمیق با عمق کمتر و متاثر از چرخش سیال‌های جوی و حضور کانه‌های دما پائین چون رالکار و اریمان در سامانه‌های فراگرمایی حدواتسط است. بررسی سیال‌های درگیر از کوارتزهای کانه‌دار زواریان نشانگر شوری ۱۵-۲۱ درصد معادل وزنی NaCl است که نسبت به بنابراین با توجه به واستگی مجموعه آتشفسانی زواریان به میوسن پیشین و مجموعه ساری‌گونای به میوسن میانی، تشکیل سامانه ماقمایی در ارتباط با کمان پس از برخورد در این گستره زمانی و از نظر موقعیت مکانی از کمربند ماقمایی ارومیه دختر به سمت پهنه سندج سیرجان با فشردگی بیشتر و عملکرد بیشتر پهنه‌های برشی همراه است. به این ترتیب، در منطقه زواریان این مجموعه آتشفسانی با نماد آتشفسان چینه-ای تشکیل شده و توده‌های نفوذی با عمق بیشتر سامانه‌های فراگرمایی در قالب توده‌های با سولفیدشدگی بالا-پورفیری ظاهر یافته‌اند. این در حالی است که در ساری‌گونای، توده‌های نفوذی با جدایش بیشتر و ترکیب اسیدی منجر به تشکیل سامانه‌های فراگرمایی حدواتسط شده‌اند. بنابراین از میوسن پیشین به سمت میوسن میانی، از کشش و بالآمدگی کاسته شده و بر نقش حرکت راستا لغز راستگرد در جایگیری توده‌ها

- [22] Moinevaziri H., *Volcanisme Tertiaire et Quaternaire en Iran. Thèse d' Etat, Paris-Sud Orsay*, 290 pp.
- [23] Hassanzadeh T., Heidari S.M., Qalamqash J., Mohebbi A., "Comparison of alteration areas in Sari Gunnay and Zavarian epithermal gold deposits, by ASTER satellite image processing". Proceedings of the 38th Conference on Earth Sciences, Geological Survey and Mineral Exploration (2019).
- [24] Petersen U., Vidal C. E., "Magmatic and tectonic controls on the nature and distribution of copper deposits in Peru. Andean copper deposits: New discoveries, mineralization, styles and metallogeny: Society of Economic Geologists Special Publication, (5) (1996) 1-18.
- [25] Le Bas, M. J., Le Maitre R. W., Streckeisen A., Zanettin B., "A chemical classification of volcanic rocks based on total Alkali-Silica content": Journal of Petrology, v. 27 (1986) p. 745-750
- [26] Peccerillo A., Taylor S. R., "Geochemistry of Eocene calc-alkaline volcanic rocks from the Kastamonu area, Northern Turkey. Contributions to Mineralogy and Petrology": 58 (1976) 63-81.
- [27] Bissig T., Clark A.H., Lee J.K.W., Quadt A.V., "Petrogenetic and metallogenetic responses to Miocene slab flattening: new constraints from the El Indio-Pascua Au-Ag-Cu belt, Chile, Argentina. Min Deposit, v. 38 (2003) p. 844-862.
- [28] Waught T.E., Weaver S.D., Muir R.J., "The Hohonu batholith the north Westland, New Zealand: granitoid compositions controlled by source  $H_2O$  contents and generated during tectonic transition", Contrib Mineral Petrol., v. 130, (1998) p. 225-239.
- [29] Nakamura N., "Determination of REE, Ba, Fe, Mg, Na, and K in carbonaceous and ordinary chondrites". Geochim. Acta, 38 (1974) 757- 775.
- [30] Lang J.R., Titley S.R., "Isotopic and geochemical characteristics of Laramide magmatic systems in Arizona and implications for the genesis of porphyry copper deposits": Economic Geology, v. 93, (1998) p. 138-170.
- [31] Hanson G.N., "Rare earth elements in petrogenetic studies of igneous systems", Annual Review of Earth Planetary Sciences, v. 8 (1980) p. 371-406.
- [32] Frey F.A., Chappell B.W., Roy S.D., "Fractionation of rare-earth elements in the Tuolumne intrusive series, Sierra Nevada batholith, California", Geology, v. 6, (1978) p. 239-242.
- [11] Echtler H., Mallavieller J., "Extentional Tectonics, basement uplift and Stephano-Permian collapse basin in a late Variscan metamorphic core complex (Montagne Noire/Suthern Massif Central)", Tectonophysics, v. 177 (1990) p. 125-138.
- [12] Allen M.B., Kheirkhah M., Emami M.H., Jones S.J., "Right-lateral shear across Iran and kinematic change in the Arabia-Eurasia collision zone", Geophysical Journal International, v. 184, (2011) p. 555-574.
- [13] Morley C.K., Kongwung B., Julapour A., Abdolghafourian M., Hajian M., Waples D., Warren J., Otterdoom H., Srisuriyon K., Kazemi H., "Structural development of a major late Cenozoic basin and transpressional belt in central Iran", The Central Basin in The Qom- saveh area. Geosphere, Volume 5 (2009) 4:325-362.
- [14] Emami M.H., "Géologie de la région de Qom-Aran (Iran): Contribution à l'étude dynamique et géochimique du volcanisme Tertiaire de l'Iran Central": Ph.D., Thèse, Univ., Grenoble, France, (1981) 489pp.
- [15] Roozbeh Kargar.s, Movahedi.M, "Gold Exploration Report in 1: 100000 Salafchegan Qom Zavarian Area", Geological Survey of Iran (2010).
- [16] Hart C.J.R., "reduced intrusion-related gold systems, in Goodfellow, W.D., ed., Mineral deposits of Canada", A Synthesis of Major Deposit Types, District Metallogeny (2007).
- [17] Chiu H.Y., Chung S.L., Zarrinkoub M.H., Mohammadi S.S., Khatib M.M., Iizuka Y., "Zircon U-Pb age constraints from Iran on the magmatic evolution related to Neotethyan subduction and Zagros orogeny", Lithos, 162, (2013) pp.70-87.
- [18] Ayati F., Yavuz F., Asadi H.H., Richards J.P., Jourdan F., "Petrology and geochemistry of calc-alkaline volcanic and subvolcanic rocks, Dalli porphyry copper-gold deposit, Markazi Province, Iran", International Geology Review, v. 55, (2013) p. 158-184.
- [19] Richards J.P., Wilkinson D., Ullrich T., "Geology of the Sari Gunay epithermal gold deposit, northwest Iran". Economic geology, 101 (2006) 1455-1496.
- [20] Wilkinson D., "the geological summary of the Sari Gunay gold project", Report of Zar Kuh Mining Company (2005).
- [21] Boccaletti M., Innoncenti F., Manetti P., Mazzuoli R., Motamed A., Paquare A., Radicati de Brozolo F., Amin Sobhani E., 'Neogene and Quaternary volcanism of the Bijar area (western Iran)', Bull. Volcanol, v. 40-42 (1976) p. 121-135.

- [43] Niroumand Sh., "Geochemical characteristics, cognitive mineralogy and genesis of Antimony Dashkasan deposit", Master Thesis, College of Science, Tarbiat Modares University (1999).
- [44] Roedder E., "Fluid Inclusions". Rev. Mineralogy, Mineral. Soc. Am., (1984) p. 12-644.
- [45] Wilkinson J.J., "Fluid inclusion in hydrothermal ore deposits". Elsevier, Lithos. 55 (2001) pp. 229-272.
- [46] Walshe J. L., Hobbs B. E., "hydrothermal systems, giant ore deposits and a new paradigm for predictive mineral exploration". CSIRO Exploration and Mining Research Reviews 30-31(1999).
- [47] Shepherd T.J., Rankin A.H., Alderton D.H., "A practical guide to fluid inclusion studies", Blackie (1985).
- [48] Pirajno F., "Hydrothermal processes associated with meteorite impacts. In Hydrothermal processes and mineral systems", (pp. 1097-1130). Springer, Dordrecht (2009).
- [49] Cooke D.R., Simmons S.F., "Characteristics and genesis of epithermal gold deposits: Society of Economic Geologists", Reviews in Economic Geology, v. 13, (2000) p. 221-244.
- [50] Vargas R., Gustafson L., Vukasovic M., Tidy E., Skewes M.A., "Ore breccias in the Rio Blanco-Los Bronces porphyry copper deposit, Chile", In: Skinner B (ed) Geology and ore deposits of the Central Andes. Soc Econ Geol Spec Publ., v. 7, (1999) p. 281-297.
- [51] Zheng Y., Frantz J.D., "Determination of the homogenization temperatures and densities of supercritical fluids in the system NaCl-KCl-CaCl<sub>2</sub>-H<sub>2</sub>O using synthetic fluid inclusions", Chem Geol, v. 64, (1987) p. 335-350.
- [52] Large R., Huston D., McGoldrich P., McArthur G., Ruxton P., "Gold distribution and genesis in Paleozoic volcanogenic massive sulphide systems", In: Bicentennial Gold 88. Geol. Soc. Aust. Abst. Ser., v. 22 (1988) p. 121-126.
- [53] Sillitoe R.H., "Epithermal models: Genetic types, geometrical controls, and shallow features". Geological Association of Canada special Paper. 40, (1993) p. 403- 417.
- [33] Rollinson H. R., "Using geochemical data: evaluation", Presentation, Interpretation, 796 (1993) 317-343.
- [34] Sun S.S., McDonough W.F., "Chemical and isotopic systematics of oceanic basalts: implications for mantle composition and processes. In: Saunders, A.D., Norry, M.J. (Eds.), Magmatism in the Ocean Basins", vol. 42. Geological Society of London, pp.313-345 Special Publication (1989).
- [35] Thuy N.T.B., Satir M., Siebel W., Vennemann T., Van Long T., "Geochemical and isotopic constraints on the petrogenesis of granitoids from the Dalat zone, southern Vietnam. Journal of Asian Earth Sciences", 23(4) (1989) pp.467-482.
- [36] Glennie K.W., "Cretaceous tectonic evolution of Arabia's eastern plate margin: A tale of two oceans: Society for Sedimentary Geology (SEPM) Special Publication". 69 (2000) p. 9-20.
- [37] Frey F.A., Chappell B.W., Roy S.D., "Fractionation of rare-earth elements in the Tuolumne Intrusive Series, Sierra Nevada batholith, California". Geology 6 (1978) 239-242.
- [38] Gorton M.P., Schandl E.S., "From continents to island arcs: a geochemical index of tectonic setting for arc-related and within-plate felsic to intermediate volcanic rocks". The Canadian Mineralogist, 38(5) (2000) pp.1065-1073.
- [39] Pearce J.A., Peate D.W., "Tectonic implications of the composition of volcanic arc magmas". Annu. Rev. Earth Planet. Sci. 23 (1995) 251-285.
- [40] Pirouz M., Avouac Jean-Philippe, Hassanzadeh Jamshid, Kirschvink Joseph L., Bahroudi Abbas, "Early Neogene foreland of the Zagros, implications for the initial closure of the Neo-Tethys and kinematics of crustal shortening". Earth Planet. Sci. Lett. 477 (2017) 168-182.
- [41] Zahmatkesh A., Heidari S.M., "Geology and mineralization of gold (copper) Zavarian (Qom-Salafshegan)", Quarterly Journal of Earth Sciences, Vol. 117 (2020) pp. 39-50.
- [42] Abdi Bastami S., Rezaei B., Pazooki A., Amini A., "Preliminary Cyanidation of Gold Ore from Zavarian", International Journal of Engineering and Innovative Technology (IJEIT), V. (4) (2015) P. 191-194.